

修士論文
Dメゾンの希少崩壊について研究

東北大学大学院理学研究科
物理学専攻
藤澤 由和
平成14年

目次

第1章 序	7
第2章 BELLE実験	9
2.1 BELLE実験の目的と物理	9
2.1.1 CP対称性の破れ	9
2.1.2 KM理論(小林-益川理論)	10
2.2 KEKB加速器	12
2.3 BELLE検出器	15
2.3.1 シリコンバレーテックス検出器(SVD)	16
2.3.2 中央ドリフトチェンバー(CDC)	17
2.3.3 エアロジェルチェレンコフカウンター	18
2.3.4 飛行時間差測定器(TOF)	20
2.3.5 CsI電磁カロリメーター(ECL)	21
2.3.6 <i>KLM</i> 検出器	22
2.3.7 トリガーシステム(DAQ)	24
2.4 ソフトウェア	25
2.4.1 解析ツール	25
2.4.2 モンテカルロシミュレータ	25
2.5 現在の状況	26
第3章 D中間子稀少崩壊の解析	27
3.1 $D^0 \rightarrow \phi \pi^0$	27
3.1.1 目的と物理	27
3.1.2 解析	28
3.1.3 まとめ($D^0 \rightarrow \phi \pi^0$)	42
3.2 $D^0 \rightarrow \phi \gamma$	43
3.2.1 目的と物理	43
3.2.2 解析	47
3.2.3 検出効率	51
3.2.4 まとめ	52
第4章 考察とまとめ	53
付録A $B^0 - \bar{B}^0$ 混合	54

付録B BELLE実験における測定方法	56
付録C Cabbibo suppressed	62
付録D Colour	65
謝辞	69

目次

2.1	ユニタリティートライアングル	11
2.2	KEKB の模式図	12
2.3	e^+e^- 衝突エネルギーと発生頻度の関係	14
2.4	BELLE 検出器	15
2.5	シリコンバーテックス検出器の断面 (SVD)	16
2.6	シリコンバーテックス検出器 (SVD)	17
2.7	中央ドリフトチェンバー (CDC)	18
2.8	エアロジェルチェレンコフカウンター バレル部断面積 (ACC)	19
2.9	エアロジェルチェレンコフカウンター エンドキャップ部断面積 (ACC)	19
2.10	TOF 検出器	20
2.11	CsI 電磁カロリメータ (ECL)	21
2.12	KLM のモジュール断面積	22
2.13	KLM のバレル部	23
2.14	KLM のエンドキャップ部	23
2.15	トリガーシステムの模式図	24
3.1	中性 D 中間子のファインマンダイアグラム	27
3.2	$D^0 \rightarrow \phi\pi^0$	28
3.3	Interaction Point	29
3.4	Interaction Point (xy 平面)	29
3.5	KID(monte)	30
3.6	ϕ 質量分布カット	31
3.7	π^0 運動量分布 (monte)	32
3.8	γ エネルギー分布 (monte)	32
3.9	$D^0 \rightarrow K^-\pi^+\pi^0$ の質量分布	33
3.10	π^0 運動量カット	34
3.11	γ エネルギーカット	35
3.12	$M_{\phi\pi}$	36
3.13	$M_{D^0\pi^\pm}$	36
3.14	$D^* - D^0$ 質量差分布カット	37
3.15	D^0 質量分布 ($D^0 \rightarrow \phi\pi^0$ シグナル)	38
3.16	$D^0 \rightarrow \phi\pi^0$ 崩壊	40
3.17	$\cos\theta$ (data)	40

3.18	$\cos \theta$ (monte)	40
3.19	$M_{\phi\pi^0}$ ヒストグラム ($D^0 \rightarrow \phi\pi^0$)	42
3.20	$M_{K^+K^-}$ ヒストグラム ($D^0 \rightarrow K^+K^-$)	42
3.21	中性 D 中間子のファインマンダイアグラム	45
3.22	$D^0 \rightarrow K^-\pi^+\pi^0$ モンテカルロによる不変質量 $M_{\bar{K}^*\pi^0}$ 分布 from CLEO [7]	46
3.23	$D^0 \rightarrow K^-\pi^+\pi^0$ モンテカルロによる不変質量 $M_{\rho\gamma}$ 分布 from CLEO [7]	46
3.24	$D^0 \rightarrow \phi\gamma$	47
3.25	PID(monte)	48
3.26	$M_{\phi\gamma}$	49
3.27	$D^0 \rightarrow \phi\pi^0$ バックグラウンド (monte)	49
3.28	$M_{\phi\gamma}$ after subtracting $D^0 \rightarrow \phi\pi^0$ background	49
3.29	$\cos \theta$ (data)	50
3.30	$\cos \theta$ (monte)	50
3.31	$M_{\phi\gamma}$ ヒストグラム	51
A.1	$B^0 - \bar{B}^0$ 混合 ファインマンダイアグラム	54
B.1	$B \rightarrow \Psi K$	57
B.2	$B \rightarrow \pi^+\pi^-$	58
B.3	$B^\pm \rightarrow DK^\pm$ に関する確率振幅のなす三角形	60
B.4	$B^\pm \rightarrow D^0/\bar{D}^0 K^\pm$	61
C.1	W^\pm クォーク バーテックス	62
C.2	(a) $\pi^- \rightarrow \mu^- + \bar{\nu}_\mu$ (b) $K^- \rightarrow \mu^- + \bar{\nu}_\mu$	63

表 目 次

2.1	KEKB の主要パラメータ	14
2.2	ACC のパラメータ	18
2.3	ECL のパラメータ	21
3.1	$D^0 \rightarrow \phi\pi^0$ に対するカット検出効率	41
3.2	$D^0 \rightarrow K^+K^-$ に対するカット検出効率	41
3.3	主な放射性崩壊モードの崩壊確率 [7]	44
3.4	$D^0 \rightarrow \phi\gamma$ に対するカット検出効率	51
D.1	色電荷の値	65

第1章 序

宇宙はビックバンから始まり、宇宙の初期は素粒子の世界だった。そのころは粒子と反粒子が同じ数だけ生まれたと考えられている。しかし、現在の宇宙は粒子を基にした物質だけでできている。反物質宇宙が別に存在する兆候もない。自然界には様々な対象性が存在し、その対象性が完全なものであれば物質と反物質は同じ量だけ存在するはずである。これは宇宙の進化のどこかの段階で、粒子と反粒子の振る舞いが少しだけ異なり、その結果として粒子の一部だけが生き残ったと考えられる。

その原因と考えられているのが、素粒子の世界での CP 変換に対する非対称性である。自然界では美しい対称性が陰に陽に成り立っている。エネルギー、運動量保存則、ゲージ不変性などは連続的変換に対する不変性である。これに対して、C(荷電共役)、P(空間反転)、T(時間反転)の変換は離散的変換の代表例である。このうち C 変換と P 変換については、弱い相互作用において対称性が破れていることが知られている。しかし、C 変換と P 変換を同時に行う CP 変換については、弱い相互作用において対称性を保つと考えられていた。

弱い相互作用における CP 対称性の破れは、1964 年にクローニンらの実験によって K^0 - \bar{K}^0 の系で発見された。しかし、K 中間子では CP の破れが小さく、これまで行われてきた K 中間子を用いた実験では CP 対称性の破れの本質的な解明には至っていない。

その解決の糸口になるものとして、1973 年に発表された小林-益川—仮説がある。この仮説は、[クォークは少なくとも 3 世代あり、同時に世代間の交換があれば CP は破れる (KM 理論)] ということを目撃した。その当時は、まだクォークは u, d, s の三種類しか見つかっていなかったが、その後 SLAC や BNL が c クォークを、Fermilab が b クォーク、CDF が t クォークを発見し、3 世代までのクォークが発見され、その存在を予言していた KM 理論への関心が高まった。KM 理論は現在の素粒子の標準模型の基礎となっている。1980 年、KM 理論によって B 中間子系で、K 中間子や D 中間子と比較して非常に大きく CP の破れが見えることを三田らが指摘した。さらに、B 中間子は長い寿命を持ち、 B^0 - \bar{B}^0 は状態の混合も大きいという実験報告がなされているので、K 中間子では困難であった CP 非保存のパラメータの測定や KM 理論の検証が B 中間子では可能であると考えられる。しかし、B が特定のモードに崩壊する崩壊確率が $10^{-4} \sim 10^{-5}$ と非常に小さいことから、観測は非常に難しくなっている。したがって、B と \bar{B} の差を明らかにするためには、非常に多量のペアーを集めて調べなければならない。そこで、大量に B 中間子を生成する B ファクトリーが必要となる。

現在、世界各地で様々な B ファクトリーが計画、進行している。そのなかの 1 つとして、我々が参加している茨城県筑波研究学園都市にある高エネルギー加速器研究機構 (KEK)

において行われている BELLE 実験がある。この BELLE 実験では、世界 10 カ国、50 以上の大学/研究機関から多くの研究者が参加し、非対称エネルギーの電子 - 陽電子衝突型加速器を用いて大量の B 中間子を生成して、その崩壊課程を調べることにより、KM 理論の CP 非保存のパラメータを (KM 行列の複素数因子) を測定し、理論の検証することを主目的として日々、研究が続けられている。

東北大学は KEK, 大阪市立大学, 東北学院大学, 青森大学と協力し、粒子検出器の 1 つである KLM (K^0_L, μ) 検出器の開発をソフト, ハード両面から行ってきた。 K^0_L の検出は CP 非保存のパラメータを直接決定できる B 中間子の崩壊モードの 1 つである $B^0_d(\bar{b}d) \rightarrow J/\Psi K^0_L$ を同定するために、 μ の検出は $J/\Psi \rightarrow \mu^+ \mu^-$ の再構成するのと、 B 中間子の μ への直接崩壊により B/\bar{B} の識別をするために必要である。また、 μ の検出は強い相互作用によって消滅、またはエネルギーを失う π 中間子との区別する役割も担っている。

検出器は 2 年間の開発、約二年間にわたる製作を経て、1998 年の 4 月から 11 月にかけて KEK 筑波実験室に設置され、宇宙線によるテストを経て 1999 年 6 月より、衝突実験が開始されている。現在 2002 年 11 月までに、約 100fb^{-1} のデータが得られている。

本研究では、そのデータを用いて D 中間子の希少崩壊の崩壊確率を求めることが目的である。本論文の構成は、

- 第 2 章 BELLE 実験
 - 第 3 章 D 中間子の希少崩壊の解析
 - 第 4 章 考察とまとめ
- となっている。

第2章 BELLE実験

2.1 BELLE実験の目的と物理

BELLE 実験の主目的は KM 理論の KM 行列パラメータを決定することである。ここでは、BELLE 実験の物理について簡単に述べる。

2.1.1 CP 対称性の破れ

自然界では美しい対称性が存在する。エネルギー、運動量保存則、ゲージ不変性などは連続的変換に対する不変性である。これに対し、C(荷電共役)、P(空間反転)、T(時間反転)の変換は離散的変換の代表例である。C変換とは、電荷の符号を反転させる変換であり、この変換により粒子はスピンの向きを変えずに反粒子へと変換される。また、P変換とは鏡に映し、さらに面と垂直の軸の周りに180°回転させる操作である。そして、T変換は、時間の方向を反転する変換である。

CPT 定理というものがある。これは、たとえ C, P, T それぞれの不変性が破れていても、3つの積 CPT の不変性は厳密に成り立つと考えられているものである。これは、リューダースとパウリにより局所場の理論において証明された。弱い相互作用においては、C変換とP変換はそれぞれ対称性を破ることが実験で知られている。しかし、C変換とP変換を同時に行う CP 変換では、対称性が保存されていると考えられていた。CP 非保存は、1964年に $K^0 - \bar{K}^0$ の系でクリステンソンらによって発見された。 K^0 と \bar{K}^0 は互いに反粒子である。その違いは奇妙量子数だけであり、しかもそれは弱い力では保存しない。 K^0 と \bar{K}^0 の崩壊モードには、2つの π 、もしくは3つの π の2種類の終状態がある。この2つの π 、3つの π の CP 固有状態はそれぞれ +1 と -1 である。したがって、始状態を次のように定義する。

$$|K_1\rangle \equiv \frac{1}{\sqrt{2}}(|K^0\rangle + |\bar{K}^0\rangle) : CP|K_1\rangle = |\bar{K}_1\rangle \quad (2.1)$$

$$|K_2\rangle \equiv \frac{1}{\sqrt{2}}(|K^0\rangle - |\bar{K}^0\rangle) : CP|K_2\rangle = -|\bar{K}_2\rangle \quad (2.2)$$

但し、

$$CP|K^0\rangle \equiv |\bar{K}^0\rangle, CP|\bar{K}^0\rangle \equiv |K^0\rangle \quad (2.3)$$

と位相を定義した。CP が保存すれば K_1 は2つの π に K_2 は3つの π に崩壊する。クリステンソンたちは、 K_1 が殆んど崩壊し尽くした後の K_2 の内、約0.2%が2つの π に崩壊

することを発見した。これは K_1 と K_2 を混ぜる，すなわち CP を破る相互作用が存在することを意味している。この CP 非保存を説明するものとして KM 理論 (小林-益川理論) がある。

2.1.2 KM 理論 (小林-益川理論)

小林と益川は，1973 年にクォークが 6 種類以上あると，標準模型の中に CP の破れを取ることができることを発見した。当時ですと 3 種類のクォーク (u,d,s) しか知られていなかったのので，間接的に残りの 3 種類 (後に c,b,t として知られる) を予言したことになる。6 種類のクォークによる W^\pm ボゾンとの相互作用ラグランジアンは，

$$L_{\text{int}} = \frac{g}{\sqrt{2}} \left((\bar{u}, \bar{c}, \bar{t})_L \gamma^\mu W^- V_{\text{KM}} \begin{pmatrix} d \\ s \\ b \end{pmatrix}_L + (\bar{d}, \bar{s}, \bar{b})_L \gamma^\mu W^- V_{\text{KM}} \begin{pmatrix} u \\ c \\ t \end{pmatrix}_L \right) \quad (2.4)$$

で与えられる。ここで， V はカビボ，小林，益川 (CKM) 行列と呼ばれ，質量と香り (種類) との固有状態の違いから生じる 3×3 のユニタリティ行列である。 V の行列要素の独立変数の数は 4 個，内 3 個は混合角，残り 1 つが CP を破る位相である。見やすいボルフエンシュタイン表示では，

$$V_{\text{KM}} \equiv \begin{pmatrix} V_{ud} & V_{cd} & V_{td} \\ V_{us} & V_{cs} & V_{ts} \\ V_{ub} & V_{cb} & V_{tb} \end{pmatrix} = \begin{pmatrix} 1 - \frac{\lambda^2}{2} & \lambda & A\lambda^3(\rho - i\eta) \\ -\lambda & 1 - \frac{\lambda^2}{2} & A\lambda^2 \\ A\lambda^3(1 - \rho - i\eta) & -A\lambda^2 & 1 \end{pmatrix} + O(\lambda^4) \quad (2.5)$$

$\eta \neq 0$ が CP の破れを表す。4 つのパラメータの内， λ と A は実験的に良く知られていて

$$\lambda = 0.221 \pm 0.002, A = 0.839 \pm 0.041 \pm 0.082 \quad (2.6)$$

である。b クォークの物理はクォーク混合および CP の破れを表す V_{KM} の複素位相と密接に関係していることが分かる。

$$V_{\text{KM}}^\dagger V_{\text{KM}} = 1 \quad (2.7)$$

から

$$V_{ub}^* V_{ud} + V_{cb}^* V_{cd} + V_{tb}^* V_{td} = 0 \quad (2.8)$$

で，これを複素平面状に図示するとユニタリティートライアングルを得る (図 2.1)。

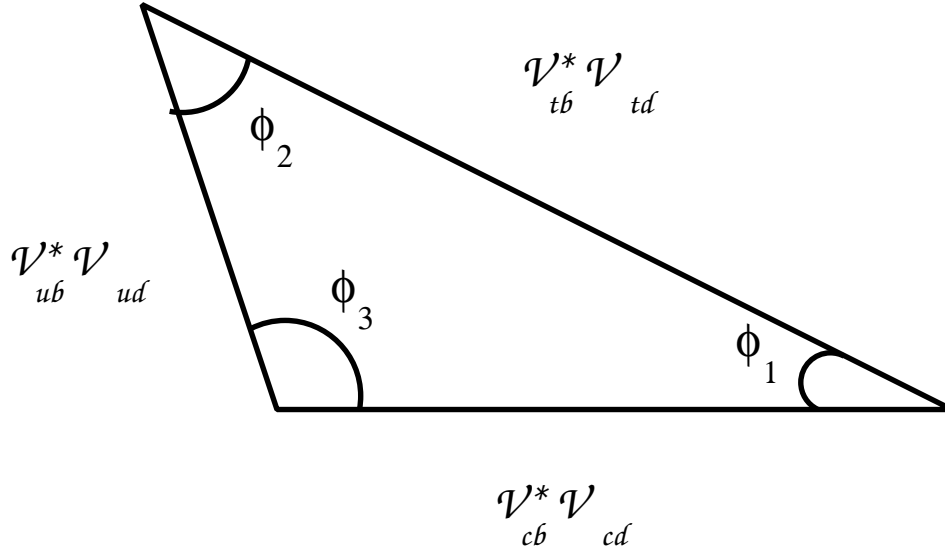


図 2.1: ユニタリティートライアングル

$O\lambda^3$ までの近似では $V_{ub}^* - \lambda V_{cb}^* + V_{td}^* \simeq 0$ なので、ユニタリティートライアングルの各辺の長さは V_{KM} の (ub),(cb),(td) 成分の絶対値によって決まっている。これらは、すべて B 中間子の崩壊幅や B^0 - \bar{B}^0 混合の大きさを測定することにより原理的に決定できる。また、ユニタリティートライアングルの 3 つの角の大きさは、B 中間子の崩壊における CP 非保存を測定することにより辺の長さとは独立に決定できる。ここで 3 つの角 (ϕ_1, ϕ_2, ϕ_3) はそれぞれ

$$\phi_1 \equiv \arg \left(\frac{V_{cd} V_{cb}^*}{V_{td} V_{tb}^*} \right), \phi_2 \equiv \arg \left(\frac{V_{ud} V_{ub}^*}{V_{td} V_{tb}^*} \right), \phi_3 \equiv \arg \left(\frac{V_{cd} V_{cb}^*}{V_{ud} V_{ub}^*} \right) \quad (2.9)$$

と定義される。

ユニタリティートライアングルの辺と角の大きさを独立に測定し、この 3 角形が本当に閉じているのかを調べるのが、CP の破れの機構を明らかにする上で非常に重要であり、B ファクトリーの最も重要な課題である。

2.2 KEKB 加速器

この節では、KEKB 加速器について説明する。図 2.2 は、KEKB 加速器の模式図である。KEKB 加速器は 2 リング非対称エネルギー電子陽電子衝突型加速器である。KEKB 加速器は、特に 2 つの大きな特徴を持っている。それは、非対称なエネルギー (HER: 8GeV LER: 3.5 GeV) と高いルミノシティ ($10^{34}\text{cm}^{-2}\text{s}^{-1}$) である。

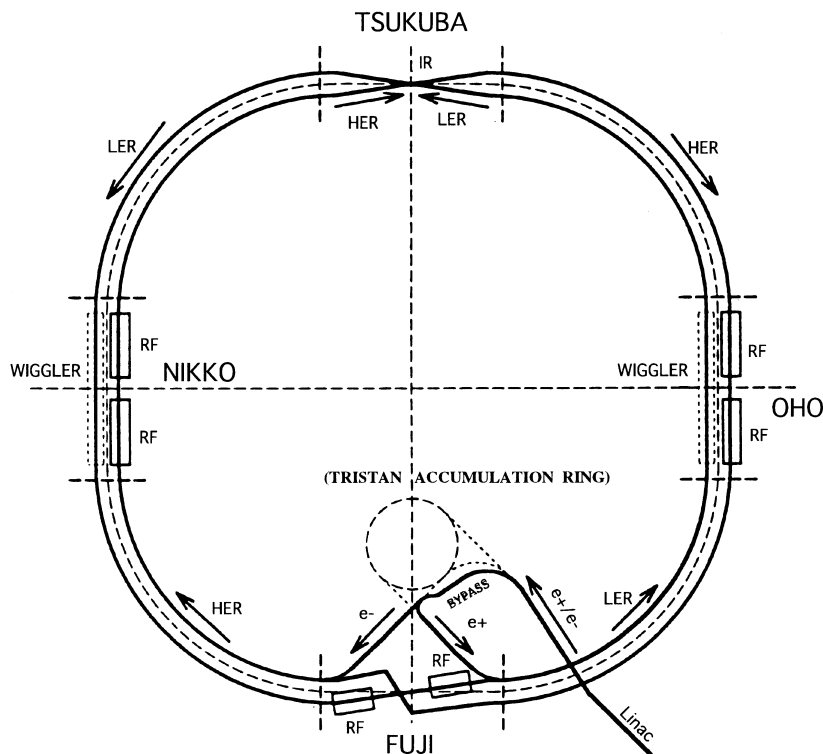


図 2.2: KEKB の模式図

BELLE 実験では、 B と \bar{B} のペアだけを大量に人工生成する必要がある。図 2.3 で示されているのは、電子陽電子コライダーの衝突エネルギーを上げていくと、或るしきい値を越えるたびに、新たなクォークペア生成が始まる様子である。しきい値の直後に、生成頻度がはね上がる共鳴ピークがあり、それは必ず対応するクォークを主成分とした中間子のペアに崩壊する。10.58GeV のピークに $e^+ e^-$ 衝突エネルギーを合わせると、 b と \bar{b} クォークの共鳴状態 $\Upsilon(4S)$ ができ、これは必ず $B\bar{B}$ のペアに崩壊する。これが、 $B(\bar{B})$ を選択的に生成する方法である。

$B\bar{B}$ は質量 (5.28GeV) が非常に大きく、様々なモードに崩壊する。その中で、 $B \leftrightarrow \bar{B}$ 変換も介在する崩壊モードでは、CP の破れが特に大きいと予想され、しかも物理解釈に不定性がない。但し、それぞれの粒子の生成から崩壊までの時間情報 (または相対的な崩壊地点) がないと、せっかくの効果が見えてこない。B が測定可能な距離を走ってから崩壊す

る環境は，親の $\Upsilon(4S)$ に十分な運動量を与えることによって用意できる．そのためには，

$$\text{衝突エネルギー} = 10.58\text{GeV} = 2\sqrt{E^+E^-} \quad (2.10)$$

を満たしながら，衝突させる電子と陽電子のエネルギー (E^+ と E^-) を大きく違える必要がある．それゆえ，KEKB では電子蓄積用の 8GeV の HER(High Energy Ring) と陽電子蓄積用の 3.5GeV(Low Energy Ring) の 2 つのリングを持つ．

衝突型加速器の性能はルミノシティと呼ばれるパラメータであらわされる．ルミノシティ L は，断面積 σ を持つ反応の発生頻度 R が，

$$R = L\sigma \quad (2.11)$$

となるように定義される．KEKB のルミノシティは， $10^{34}\text{cm}^{-2}\text{s}^{-1}$ と非常に大きく，これはトリスタンのルミノシティ $4 \times 10^{31}\text{cm}^{-2}\text{s}^{-1}$ の 250 倍である．衝突型加速器においてルミノシティ L は次の式によって与えられる．

$$L = 2.2 \times 10^{34} \xi(1+r) \left(\frac{EI}{\beta_{y*}} \right) \quad (2.12)$$

ここで， E はビームのエネルギーを GeV を単位として， I は蓄積電流をアンペアを単位として表したものである．また， ξ はビームビームチェーンシフト， r は衝突点に置ける垂直方向のビームサイズを水平方向のビームサイズで割った値， β_y は，衝突点で垂直方向 (y 方向) にどれだけビームを絞るかを表すパラメータであり，cm を単位とする．この式は電子にも陽電子にも成り立つ．ビームビームチェーン ξ は，衝突時に働くビームビーム力の強さを表す量であり，通常 0.03-0.05 という大きさを持つ．電子リングにおいてはビームは非常に扁平であり， r の値は 0.01-0.03 と小さく無視して良い．結局ルミノシティを大きくするためには， ξ と蓄積電流を大きくし， β_{y*} を小さくすれば良い．KEKB では， ξ を 0.05 と仮定し，かつ β_y を 1cm まで小さくするがそれでも必要な電流は最終的なルミノシティ $10^{34}\text{cm}^{-2}\text{s}^{-1}$ に対して，電子リングでは 1.1A，陽電子リングでは 2.6A となる．

KEKB 加速器の主なパラメータを表 2.1 にまとめておく．

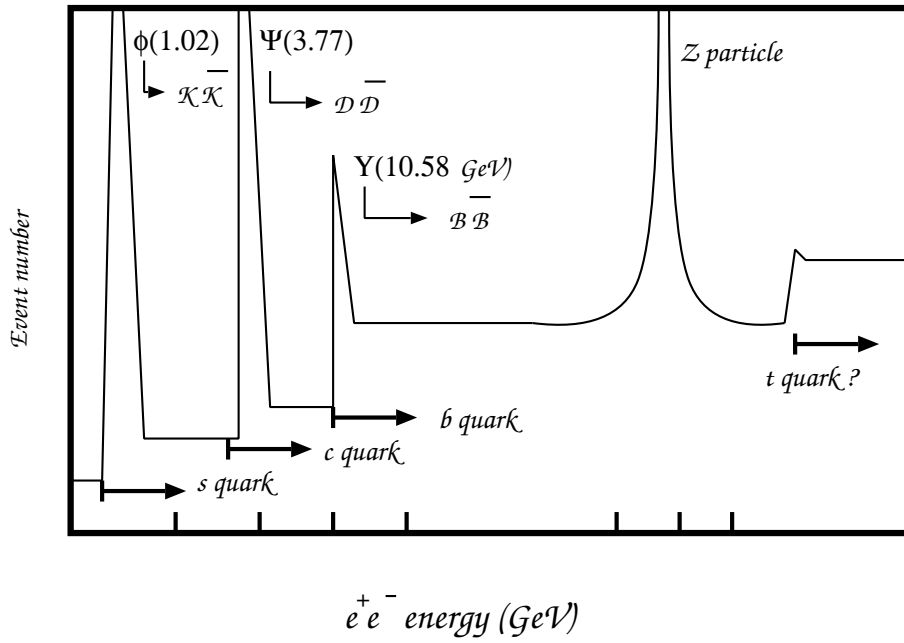


図 2.3: e^+e^- 衝突エネルギーと発生頻度の関係

名称	記号	HER	LER
使用する粒子		電子	陽電子
ビームのエネルギー	E	8.0 GeV	3.5 GeV
エネルギー幅	$\sigma E/E$	7.7×10^{-4}	7.8×10^{-4}
ビーム電流	I	1.1 A	2.6 A
周長	C	3018	
交差角	θ_x	$\pm 11 \text{ mrad}$	
IP での β 関数	β_x^*/β_y^*	0.33m/0.01m	
ルミノシティ	L	10^{34}	
1 バンチ当りの粒子数		1.4×10^{10}	3.3×10^{10}
バンチ長	σ_z	0.40 cm	
バンチ間隔	sB	0.6 m	
バンチ数		5000	

表 2.1: KEKB の主要パラメータ

2.3 BELLE 検出器

B 中間子における CP の破れのもっとも典型的な例は、B 中間子が ΨK_S に崩壊する確率と、反 B 中間子が ΨK_S に崩壊する確率の違いとして現れる。そこで、電子陽電子コライダーで生成した B 中間子と反 B 中間子の対のそれぞれの時間変化を刻々観測して、その違いを追跡する必要がある。具体的には、運動量と崩壊までに走った距離を精度よく測定し、崩壊時間分布の違いを求める。それゆえ、高性能かつ効率よく検出できる測定器が必要となる。

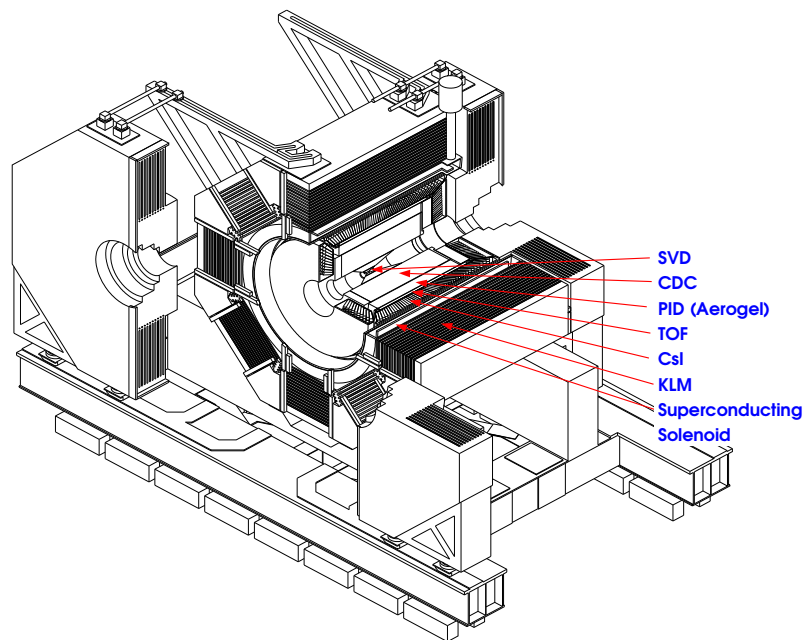


図 2.4: BELLE 検出器

KEKB で要求される性能は次のようなものがある。

- バーテックス検出

B 中間子の崩壊点 (バーテックス) を少なくとも平均崩壊長の 2 分の 1 より良い精度で測定できること。 (KEKB では $\leq 95\mu\text{m}$)

- 粒子の識別能力

π^\pm, π^0, K_S, K_L 中間子などの多岐におよぶ終状態粒子を正しく判別するために粒子の識別を持つこと。

- カロリーメーター

γ 線を伴う B 中間子の崩壊を測定するために高性能のカロリーメーターを持つこと。

- データ収集システム

効率よく興味ある事象を選別して取り込むトリガーと高速データ収集をもつこと。

KEKB で用いられている検出器を図 2.4 に示す。衝突点から順に、シリコンバーテックス検出器 (Silicon Vertex Detector), 中央ドリフトチェンバー (Central Drift Chamber), エアロジェルチェレンコフカウンター (Aerogel Cherenkov Counter), 飛行時間差測定器 (Time-Of-Flight), 電磁カロリメーター (CSI), $K^0_{L\mu}$ 検出器 (KLM) である。

2.3.1 シリコンバーテックス検出器 (SVD)

この実験で最も重要なことは B 中間子と反 B 中間子が同一 CP 固有状態に崩壊するときの崩壊時間分布の違いから、CP の破れを測定することである。KEKB で生成された B 中間子は、崩壊するまでに走る距離は $200\mu\text{m}$ 程度である。B 中間子の生成点と崩壊点を区別するのに十分な分解能を持ち、その距離を測定することが可能な高精度のバーテックス検出器が必要となる。それゆえ、崩壊検出精度は $100\mu\text{m}$ 程度が求められる。SVD には高位置分解能の測定器として、シリコンストリップ検出器を用いている。これは、厚さ $300\mu\text{m}$ のシリコンの板に $6\mu\text{m}$ 幅の電極を $25\mu\text{m}$ 間隔に貼付けたものである。逆バイアスをかけることによって、キャリア空乏層がほぼ厚さいっぱい広がる。そこに荷電粒子が通過すると電子、ホール対が生成され、それが電極に集められてパルス信号となる。そして、 $B\bar{B}$ イベント検出のため BELLE 検出器に対し全立体角をカバーできる大きさが要求され、 θ 方向の検出可能領域は $23^\circ < \theta < 140^\circ$ となっている。

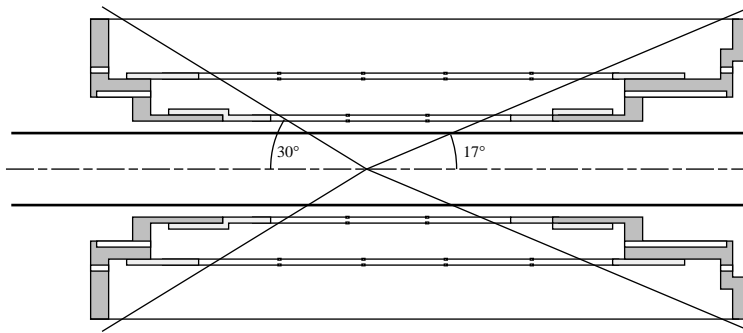


図 2.5: シリコンバーテックス検出器の断面 (SVD)

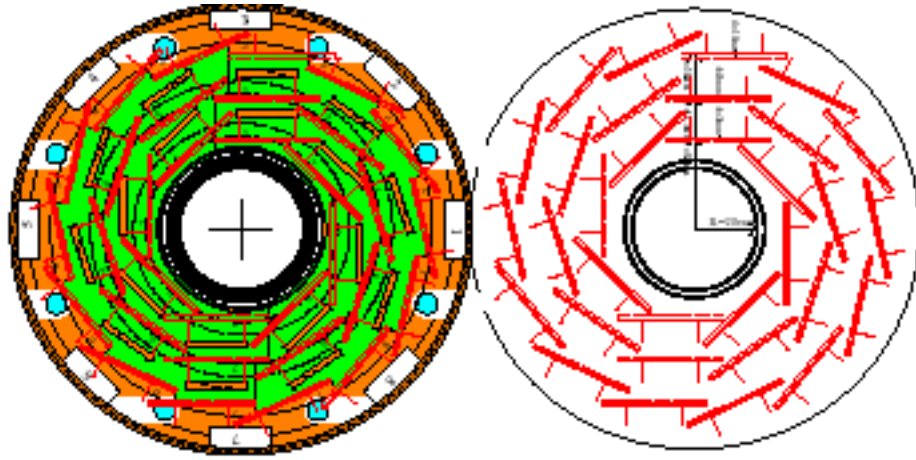


図 2.6: シリコンバーテックス検出器 (SVD)

2.3.2 中央ドリフトチェンバー (CDC)

荷電粒子飛跡検出にはドリフトチェンバーが用いられる。これは、ヘリウム/エタンの混合ガスなどのガス中に細い電極線を多数張ったもので、荷電粒子は飛跡の周りのガスを電離してイオン対を作る。そこで発生した電子は陽極に向かって移動し、陽極のごく近傍に来ると強い電場によって急激に加速され、ガスを次々と雪崩的にイオン化する「ガス増幅」をおこし、それを信号として検出する。BELLE 検出器には超伝導ソレノイドコイルによって 1.5T の磁場がかけられているため、荷電粒子はその運動量に応じて螺旋状の飛跡を描く。CDC はその荷電粒子の飛跡を再構成することによって運動量の測定およびエネルギー損失 (dE/dx) の測定をし、粒子識別を行う。エネルギー損失は粒子の種類に依存せずその速さ ($\beta = v/c$) にのみで決定する。

CDC の構造は内径 8cm, 外径 88cm, 長さ 250cm の円筒形をしている。中央部は加速器の構造の影響から円錐形になっている。内部は 3 層のカソードワイヤと 50 層のアノードワイヤで構成されている。アノードワイヤは軸方向に水平な axial ワイヤと、それに対して $40\sim 75$ mrad の角度をもって張られた stereo ワイヤで構成されている。この stereo ワイヤによって z 方向の測定位置が可能になっている。測定可能範囲は $17^\circ < \theta < 150^\circ$ である。CDC の性能は、

$$\text{空間分解能} \sim 143\mu\text{m} \quad (2.13)$$

$$\frac{\sigma_{pt}}{p_t} = 0.25\%p_t \oplus 0.39\% \quad (2.14)$$

$$\frac{dE}{dx} = 5.2\% \quad (2.15)$$

である。

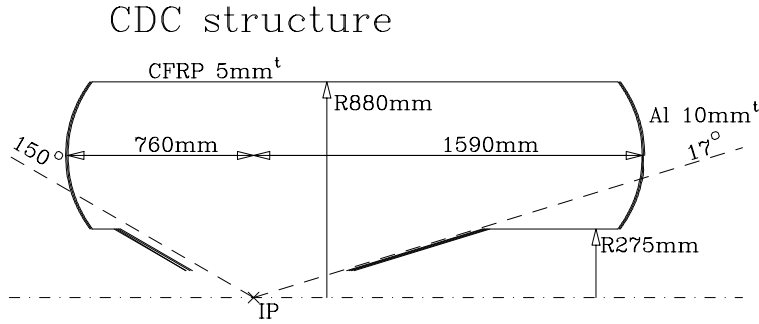


図 2.7: 中央ドリフトチェンバー (CDC)

2.3.3 エアロジェルチェレンコフカウンター

エアロジェルチェレンコフカウンターは、ACC シリカ (Si_2O) エアロジェルによる閾値型カウンターである。これは、主に 1.2GeV 以上の高い運動量での π/K 識別のために用いられる。荷電粒子が物質を通過するとき、速度がその物質中の光の伝搬速度 (式 2.16) を越えるときにコーン状の光が発生する (チェレンコフ光)。その発生角度は荷電粒子の速度に依存するので、光のコーンを検出することにより速度を知り、粒子の識別をおこなう。

$$n > \frac{1}{\beta} = \sqrt{1 + \left(\frac{m}{p}\right)^2} \quad (2.16)$$

ACC は主に 1.2GeV 以上の高い運動量の π/K 識別を目的としているため、その屈折率は π ではチェレンコフ光を発生するが K では発生しないような値に調整されており、光の有無で識別を行なう。屈折率 n は 1.010~1.020 の物質を用いている。バレル部分の構造を図 2.8 に、エンドキャップ部分を図 2.9 に示す。エアロジェルの大きさはバレル部で $12 \times 12 \times 12 \text{cm}^3$ 、エンドキャップ部で $12 \times 12 \times 10 \text{cm}^3$ の大きさであり、サポートのアルミニウムで囲まれ、読み出しの fine-mesh(FM)PMT が 1 つのエアロジェルにつき、バレル部では 2 つ、エンドキャップ部では 1 つ取り付けられている。また、屈折率 n は角度 θ によって 1.010~1.020 までのものが用意に用いられ、屈折率により読み出し用の FM-PMT の直径 (3 インチ, 2.5 インチ, 2 インチ) も変えられている。これらの検出器によりバレル部では $33.7^\circ < \theta < 120.8^\circ$ 、エンドキャップ部では $13.6^\circ < \theta < 33.4^\circ$ の領域をカバーする。

	Angle	Index	PMT diameter
Barel	$33.3^\circ < \theta < 65.0^\circ$	1.010	3 in
	$65.0^\circ < \theta < 95.0^\circ$	1.015	2.5 in
	$95.0^\circ < \theta < 127.0^\circ$	1.020	2 in
Endcap	$13.6^\circ < \theta < 33.4^\circ$	1.010	3 in

表 2.2: ACC のパラメータ

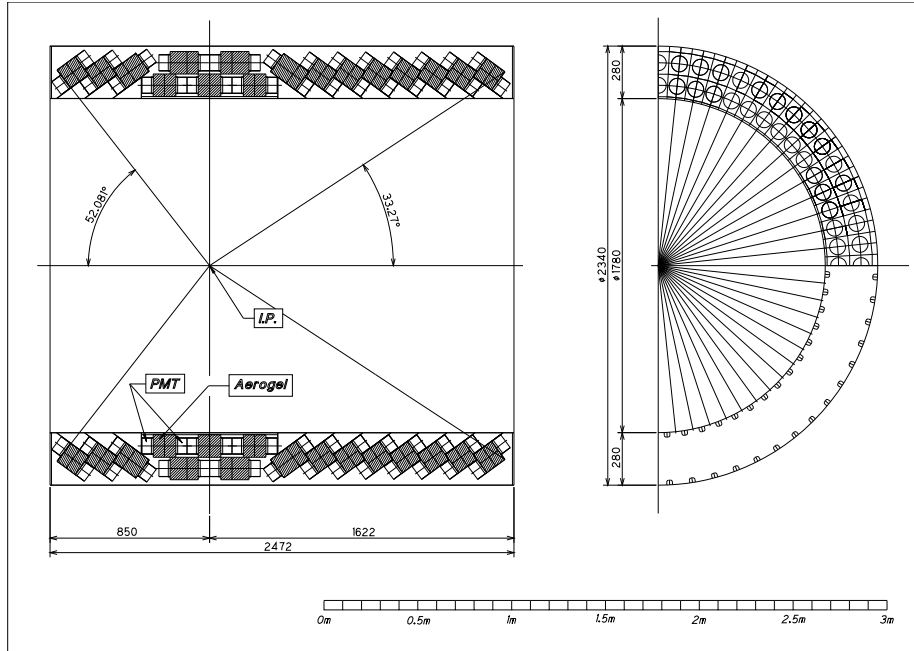


図 2.8: エアロジェルチェレンコフカウンター バレル部断面積 (ACC)

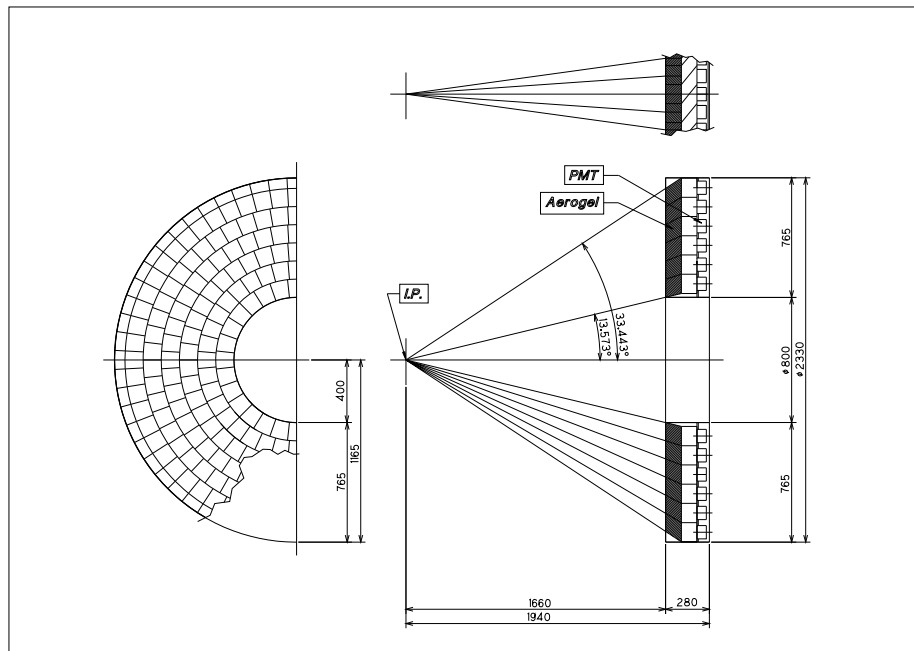


図 2.9: エアロジェルチェレンコフカウンター エンドキャップ部断面積 (ACC)

2.3.4 飛行時間差測定器 (TOF)

TOFとは、プラスチックシンチレーターを用いた検出器である。主に運動量が1.2GeV/c以下のK/ π 識別を目的としている。荷電粒子の運動量pはCDCにより測定でき、粒子の飛行時間Tが測定できれば、飛行時間をLとすると、

$$n > \frac{1}{\beta} = \sqrt{1 + \left(\frac{m}{p}\right)^2} \quad (2.17)$$

の関係式から粒子の質量mが分かり、粒子を同定することができる。TOFモジュールは2つのTOFシンチレータと1つのTSC(Thin Scintillation Countar) から構成される。TOFシンチレータは4×6×255cm³のサイズの両端に2インチのFM-PMT(Frequency Mode - Photo Multiplier Tube) が取り付けられている。TSCはCsIカロリメータおよび、CDCのトリガに用いられるシンチレータであり、0.5×120×263cm³のシンチレータに2インチのFM-PMTが1つ取り付けられる。このモジュール64個がACCとECL(CsIカロリメータ)の間、ビーム軸から1.2mの地点に円筒状に配置され、TOFサブシステムを構築する。受け入れ幅は33.7° < θ < 120.8°である。

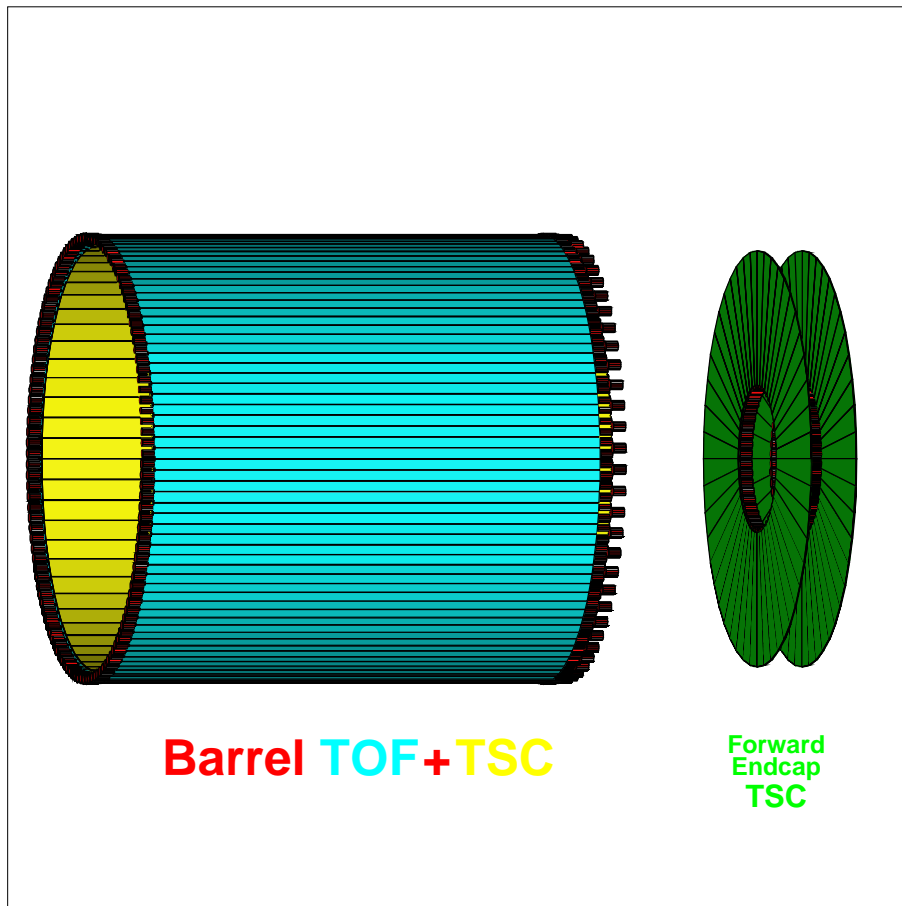


図 2.10: TOF 検出器

2.3.5 CsI 電磁カロリメータ (ECL)

B 中間子の崩壊によってできる粒子のうち、約3分の1は中性パイ中間子であり、それは2つの γ 線に崩壊する。したがってBファクトリーの実験では、荷電粒子の検出と同等に γ 線の検出能力が重要である。特に、低いエネルギーの γ 線に対する高い検出効率とエネルギー測定精度が大切である。今まで述べた検出器はすべて電荷を持った粒子が対象であった。電気的に中性の粒子を検出するには、異なった測定原理を必要とする。 γ 線や電子が物質に当たると電磁シャワーを起こす。そして、できた多くの電子を検出してエネルギーを測定するのがカロリメータである。B 中間子の崩壊から生成される γ 線のエネルギーは20MeV~3GeV程度であるが、ルミノシティの測定などのためにBhabha 散乱を測定するので、さらに8GeVまでの測定が必要になるために非常に広いエネルギー領域をカバーしなければならない。この要請を満たすため、ECLに使用される検出器はCsI(Tl)が選択された。個々の結晶は断面が5.5cm×5.5cm-6.5×6.5 cm、長さ30cmである。これを、9000本、長さ方向が電子陽電子の衝突点に向かうように並べて全立体角を覆う。総重量は、約43トンに及ぶ。主なECLのパラメータを表2.3にまとめた。

BELLE CsI ELECTROMAGNETIC CALORIMETER

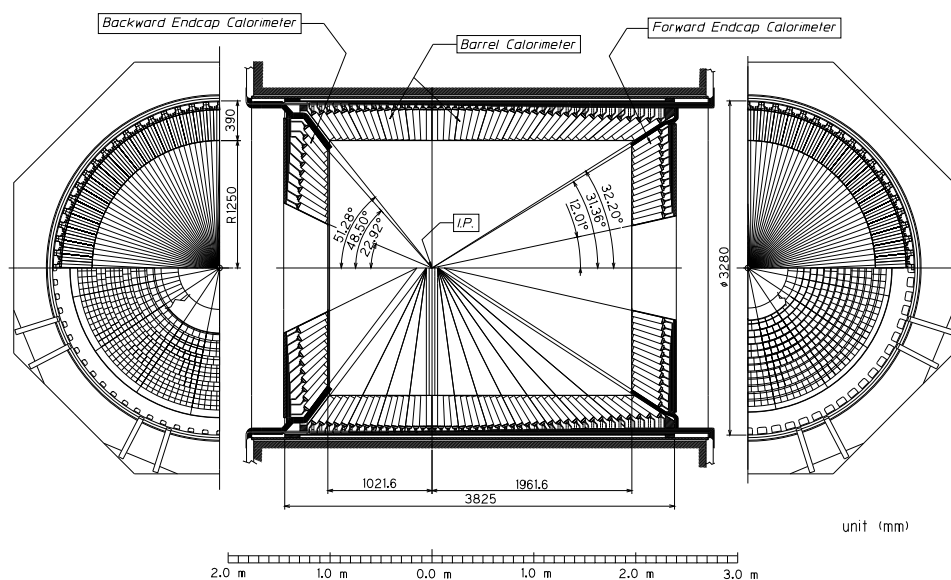


図 2.11: CsI 電磁カロリメータ (ECL)

	θ coverage	thetasecg	phiseg	Number of crystals
Foward Endcap	$11.7^\circ < \theta < 31.5^\circ$	13	48~128	1168
Foward Endcap	$32.2^\circ < \theta < 128.7^\circ$	46	144	6624
Foward Endcap	$130.8^\circ < \theta < 158.3^\circ$	64~144	1024	

表 2.3: ECL のパラメータ

2.3.6 KLM 検出器

これまでで検出されない主な粒子は、ニュートリノを除けば長寿命中性 K 中間子 K_L^0 と μ 粒子だけである。

K_L^0 は ECL やソレノイドコイル, KLM の鉄の層などで K_L^0 が強い相互作用を起こして崩壊して発生するハドロンシャワーを測定することで検出する。

μ 粒子は π 粒子などと比べて物質透過率が高いことを利用して, CDC で検出された荷電粒子の飛跡を KLM まで外挿し, 飛跡を μ 粒子として計算したときに実際に得られたヒットポイントと一致するかどうかを比較し同定を行なう。

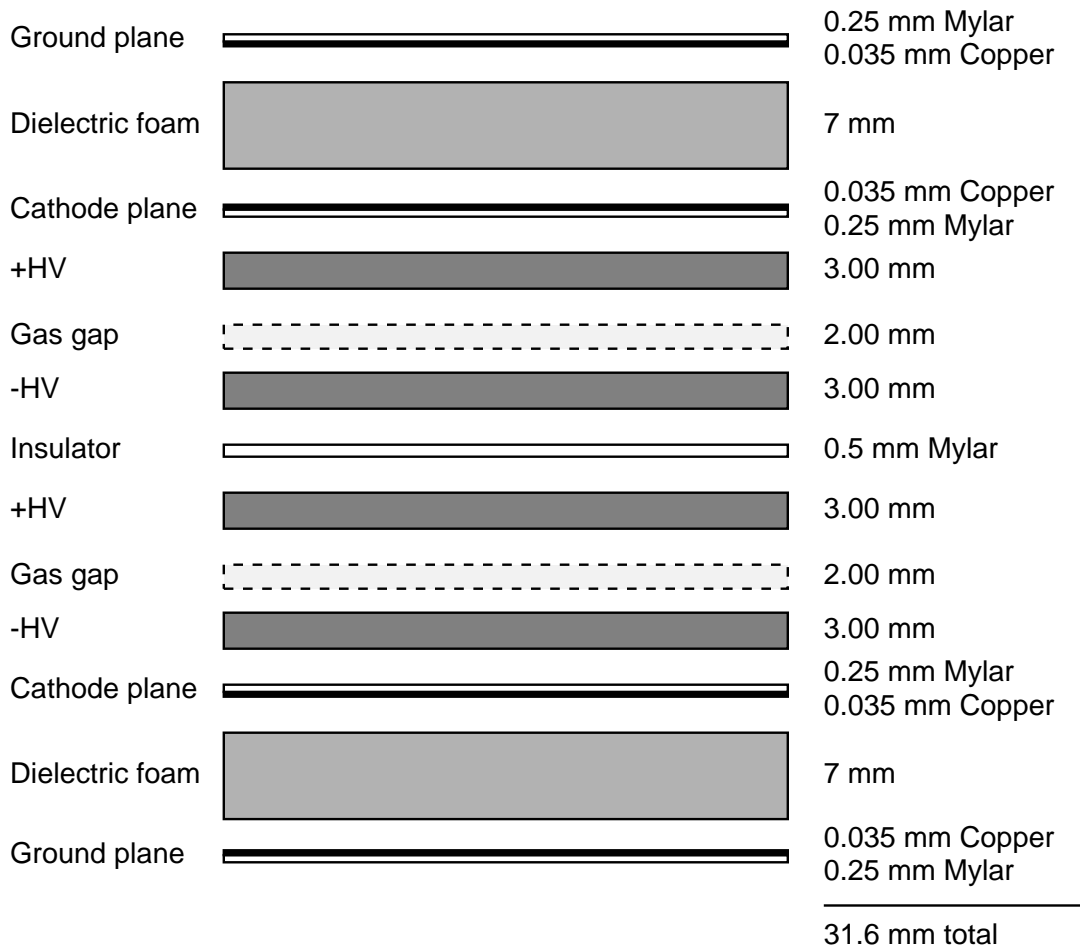


図 2.12: KLM のモジュール断面積

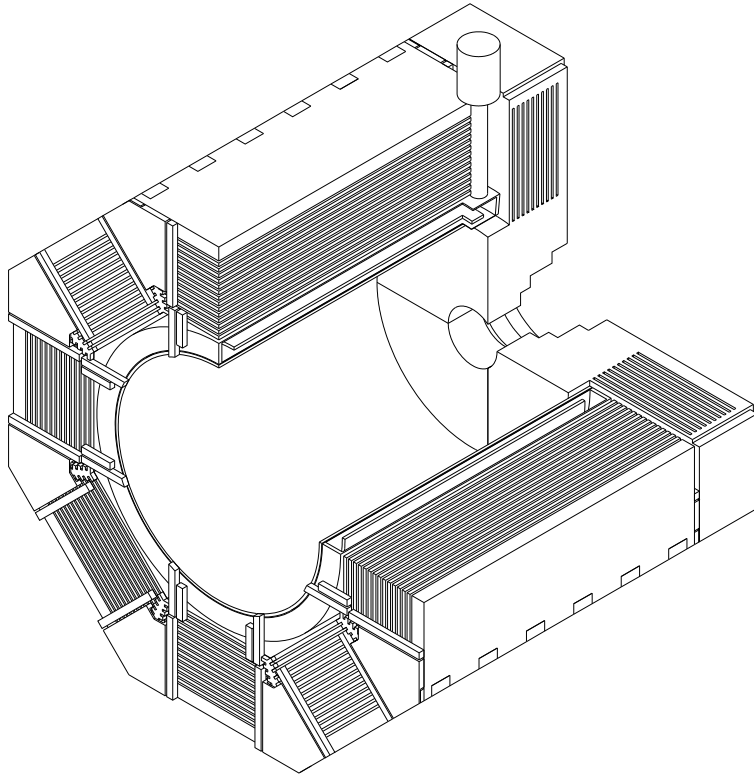


図 2.13: KLM のバレル部

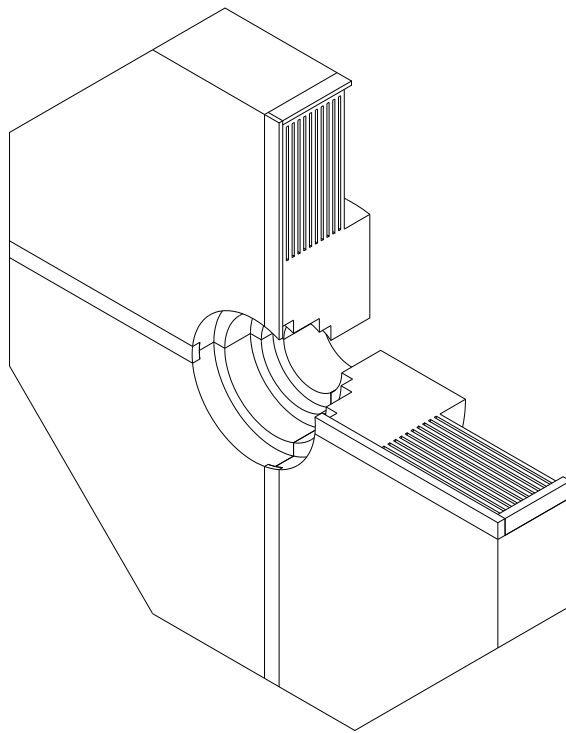


図 2.14: KLM のエンドキャップ部

2.3.7 トリガーシステム (DAQ)

Belle実験ではイベント発生率がごく小さいイベントの物理を観測するために $10^{34} \text{cm}^{-2} \text{s}^{-1}$ という高いルミノシティを保ったままほぼ断続的にビームを出す必要がある。このため、BELLE実験で生成されるイベントはB中間子対の生成事象のみでも十数Hz、他の様々な物理過程を含めると実際に測定しなければならない物理事象は100Hzに迫る。これとともに数倍はあるバックグラウンド事象がある。したがって、バックグラウンドをリアルタイムで破棄しなければデータの取り込みが追い付かない。そこで、興味ある事象を正確に効率よく選びだすためにパイプライン構造を持つトリガー系が用いられる。カロリメータ、ドリフトチェンバー、シンチレーションカウンターなどからの事象中の粒子のエネルギー、飛跡、時間情報を組み合わせて、「本物」の候補となる事象を短時間内に選びだす。この判定時間は $2\mu\text{s}$ であり、この判定の間、すべての情報は各種信号遅延素子上に保持される。取り込まれるデータ量は每秒15MB/s程度と予想され、これに対処するために分散型のデータ収集系が用いられている。さらに高速の処理能力を持つ並列型計算機ファームを用いた事象の再構築と不要な事象の削除が行なわれ、選別されたデータが記憶装置に記録される。全体の流れを模式的に図2.15に示す。

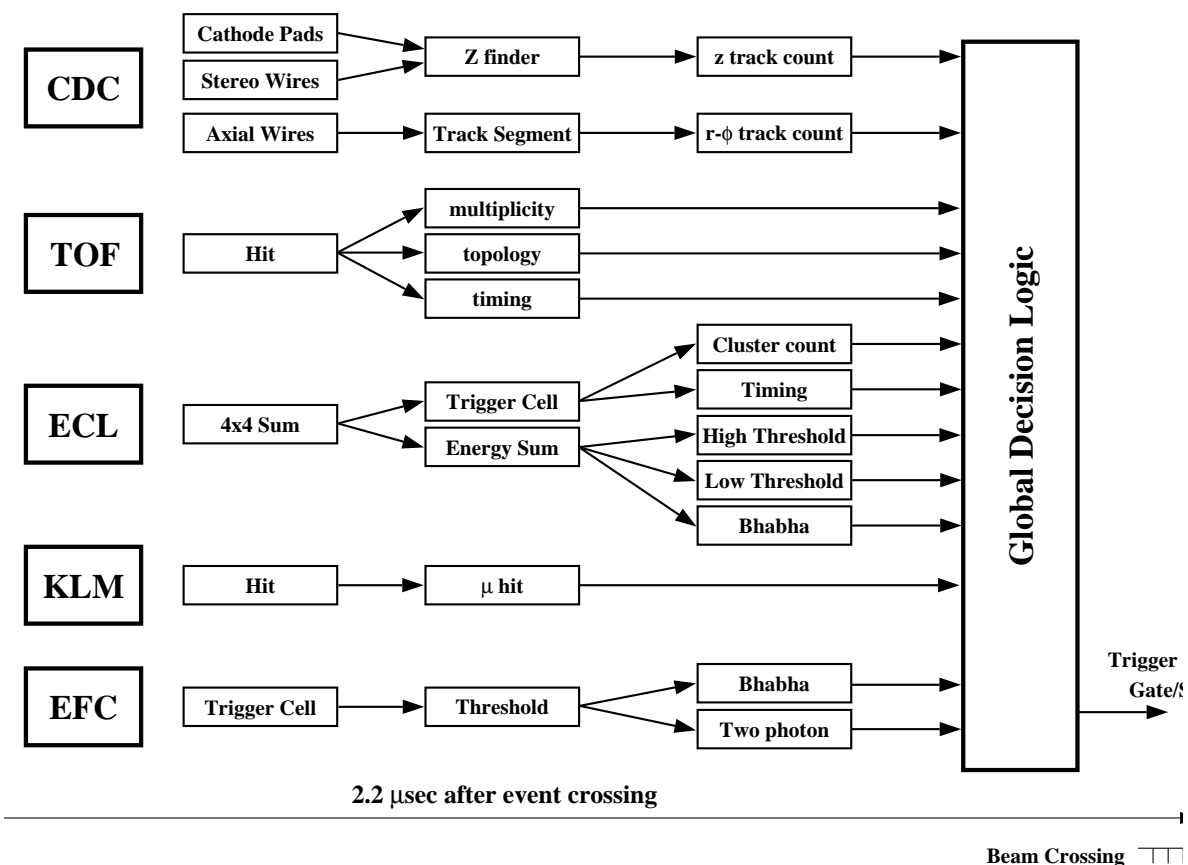


図 2.15: トリガーシステムの模式図

2.4 ソフトウェア

BELLE 実験では主に2種類のソフトウェアに分類される。一つは解析のためのソフトウェアでもう一つはシミュレーションをするためのソフトウェアである。解析のためのソフトウェアは、BASF(Belle Analysis Framework) と呼ばれるもので、シミュレーションのソフトウェアはモンテカルロシミュレーションと呼ばれるものである。

ここでは、それらのソフトウェアについての概要を説明する。

2.4.1 解析ツール

DAQ により得られたデータはいくつかの再構成ツールを用いてオフラインで処理される。SVD と CDC でのヒットは荷電粒子の軌跡とされる。また、Energy management は、ECL で得られた情報からフォトンのエネルギーとその軌跡を解析する。PID(Particle Identification) ツールは、粒子の種類についての情報を与える。これらの再構成ツールによる情報は、DST(Data SummarrY Tape) に蓄積される。DST は非常に大きいため、物理的解析を行なうためにはさらに便利性を高め、かつコンパクトにする必要がある。それが、MDST(Mini DST) である。MDST を操作し、最終的な結果を得るために解析ツールとシミュレーションツールは多くのプログラムモジュールから構成されている。それは共通のフレームワークで動作する。これらは、BASF(Belle Analysis Framework) と呼ばれている。

2.4.2 モンテカルロシミュレータ

モンテカルロシミュレータでは、2つのディテクターシミュレータがある。それはFSIM(Fast SIMulator) と GSIM(Geant SIMulator) である。FSIM は、MDST データディレクトリを作成する。FSIM はそれほど大きな CPU パワーを必要としないが、ディテクターの精度などの細かいところまではシミュレートすることはできない。GSIM は、粒子とディテクターの物質との反応のシミュレーションのために CERN によって発展させられたものである。GSIM はそれぞれの粒子の軌跡からシミュレートできるので非常に時間がかかる。この解析では、GSIM を用いてシミュレーションを行なった。

2.5 現在の状況

KEKBでの衝突実験は1999年5月に開始された。2002年10月26日(土)午後10時11分頃には、Belle検出器が蓄積した全積分ルミノシティが100/fbに到達した。この積分ルミノシティはKEKB加速器にとっては通過点に過ぎないが、これまで世界のどの衝突型加速器でも達成されたことのない記録であり、一つの大きなマイルストーンに到達したものと考えられる。

なお、この実験では2002年の夏までのBELLE実験で得ることができた積分ルミノシティ $82.4fb^{-1}$ のデータベースを用いて解析を行なった。

第3章 D中間子稀少崩壊の解析

3.1 $D^0 \rightarrow \phi \pi^0$

3.1.1 目的と物理

この解析では、 $D^0 \rightarrow \phi \pi^0$ の崩壊確率を求めることが目的である。この崩壊のファインマンダイアグラムを図3.1に示す。図3.1を見ると分かるように弱い相互作用 V_{us} があるためこれは cabbibo suppressed の崩壊モードである。また、中間子は colour singlet でなければ存在できないので ϕ 粒子のクォーク $s\bar{s}$ の色電荷は、それぞれ $r\bar{r}$ 、 $g\bar{g}$ 、 $b\bar{b}$ のいずれかでなければならない。よって colour suppressed でもある。それゆえ、崩壊確率は非常に小さく現在までの実験では

$$\Gamma(D^0 \rightarrow \phi \pi^0) < 1.4 \times 10^{-3} (CL = 90\%) \tag{3.1}$$

[22] が知られているだけである。また、この崩壊モードは cabbibo suppressed と colour suppressd をもつので物理的にも非常に興味深い崩壊モードである。

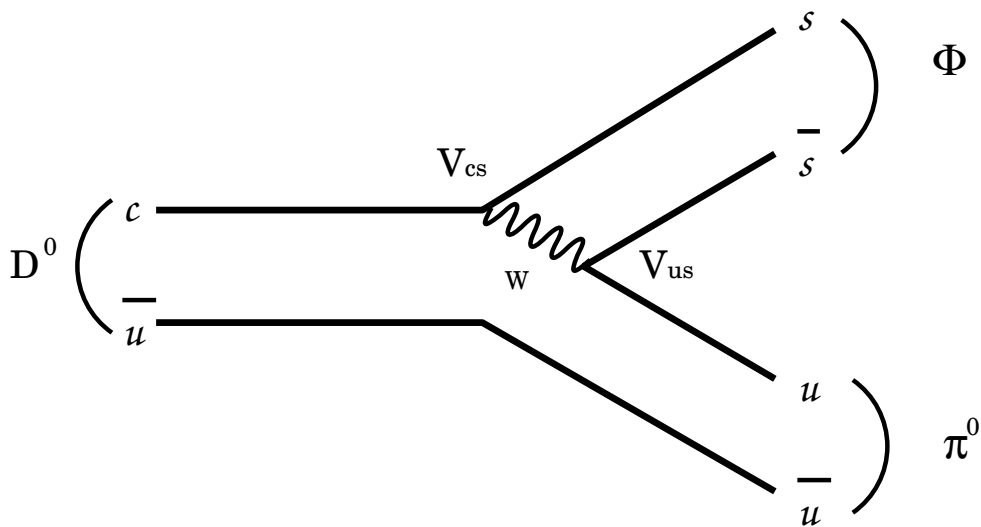


図 3.1: 中性 D 中間子のファインマンダイアグラム

dr dz カット

このカットは e^+e^- ビームの衝突から発生したイベントのみを選択するためのカットである。

dz とは、図 (3.3) に示すように e^+e^- ビーム軸 (z 軸) 上においての、IP と粒子の軌跡が z 軸と交差する点との距離である。 ϕ の構成粒子である荷電 K 中間子と $D^{*\pm}$ の構成粒子である荷電 π 中間子の dz がいずれも、 1.5cm より小さいものをイベントとして選択するように設定している。

$$dz < 1.5\text{cm} \quad (3.2)$$

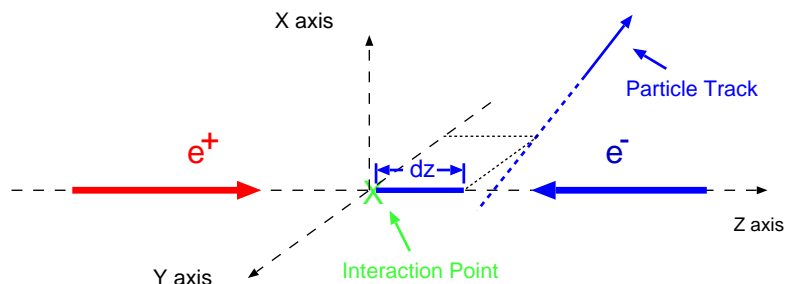


図 3.3: Interaction Point

dr とは、図 (3.4) に示すように xy 平面上においての、粒子のトラックと IP との最小距離のことである。 ϕ の構成粒子である荷電 K 中間子と $D^{*\pm}$ の構成粒子である荷電 π 中間子の dr がいずれも、 0.5cm より小さいものをイベントとして選択するように設定している。

$$dr < 0.5\text{cm} \quad (3.3)$$

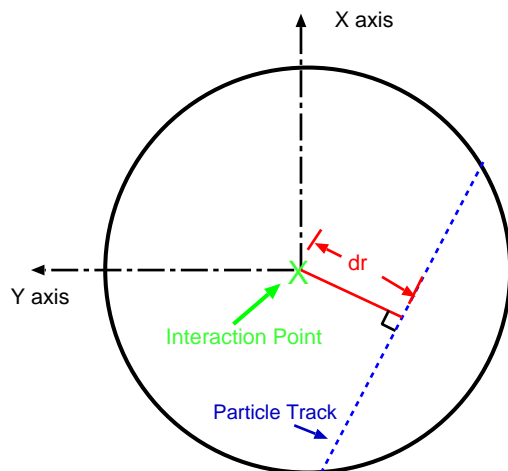


図 3.4: Interaction Point (xy 平面)

KID カット

KID カットとは検出された粒子がK中間子であるものを選択するためのカットである。モンテカルロシミュレーションによる KID のヒストグラムを、図(??)に示す。

横軸はK中間子である確率で、縦軸はイベント数で log scale である。K 中間子である確率が 100% であるイベントは 1 に、K 中間子である確率が 0% であるイベントは 0 に、そして、判定できないイベントは 0.5 になる。

ϕ 粒子を K 中間子の ID カットを以下のように設定した。

$$KID > 0.51 \quad (3.4)$$

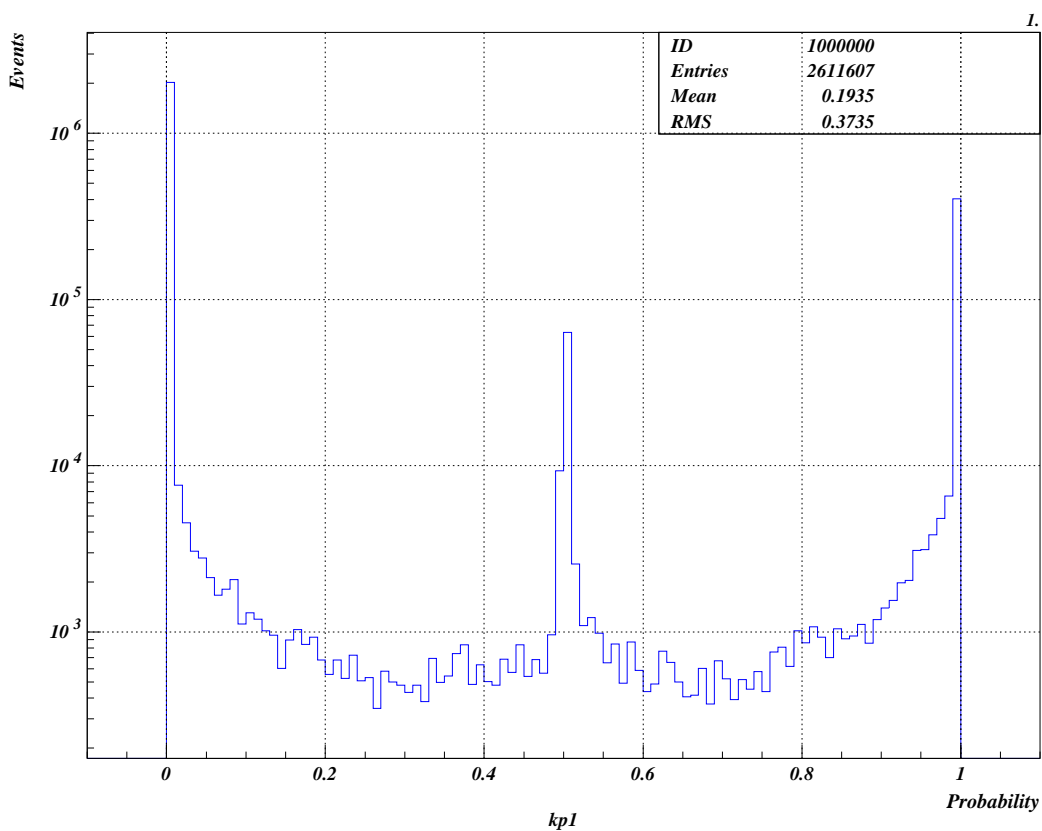


図 3.5: KID(monte)

ϕ 質量分布カット

KID カットによって選択された荷電K 中間子であると思われる粒子を再構成して、その不変質量をプロットしたものが図 3.6 である。

図 3.6 を見ると、 ϕ の不変質量 1020MeV にピークが見える。このピークは ϕ 粒子によるものであると考えられる。 D^0 を再構成するためには、 ϕ 粒子と思われるイベントだけを選択する必要がある。そこで、ガウス関数をフィットし σ を求めて、 M_{kk} を 3σ の幅でカットをした。

カットの値は、

$$1012\text{MeV}/c^2 < M_{KK} < 1028\text{MeV}/c^2 \quad (3.5)$$

である。ここで、 $\sigma = 2.7\text{MeV}/c^2$ より $3\sigma \simeq 8\text{MeV}/c^2$ である。

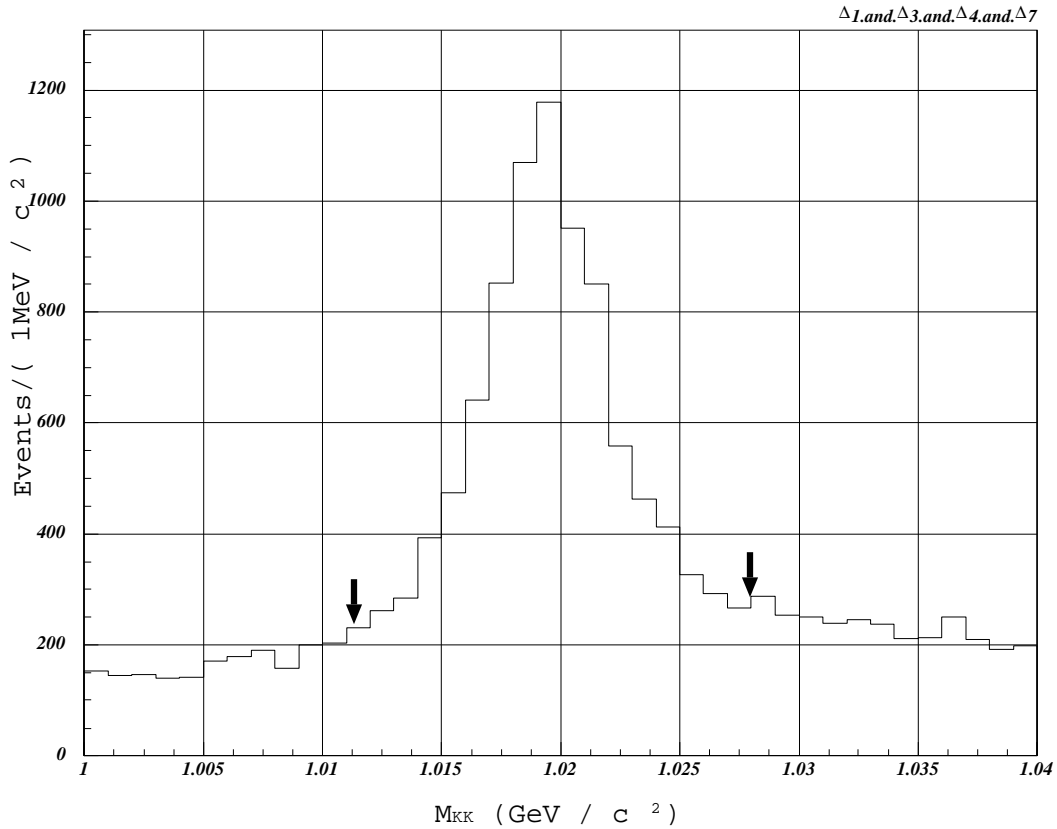


図 3.6: ϕ 質量分布カット

M_{KK} カット以外のすべてのカット、 $dr < 0.5\text{cm}$ 、 $dz < 1.5\text{cm}$ 、 $P_{\pi^0} > 500\text{MeV}/c$ 、 $E_{\gamma} > 100\text{MeV}$ 、 $143.4\text{MeV}/c^2 < \Delta M < 147.4\text{MeV}/c^2$ 、 $KID > 0.51$ を入れている。

π^0 に対するカット

次に D^0 のもう一つの構成粒子である π^0 についてのカットの値を決定する。カットとしては、

- π^0 の運動量カット、
- $\gamma(\pi^0 \rightarrow 2\gamma)$ エネルギーカット

がある。図 (3.7) と図 (3.8) はモンテカルロシミュレーションによる π^0 運動量分布と γ エネルギー分布である。図 (3.7) と図 (3.8) は規格化している。

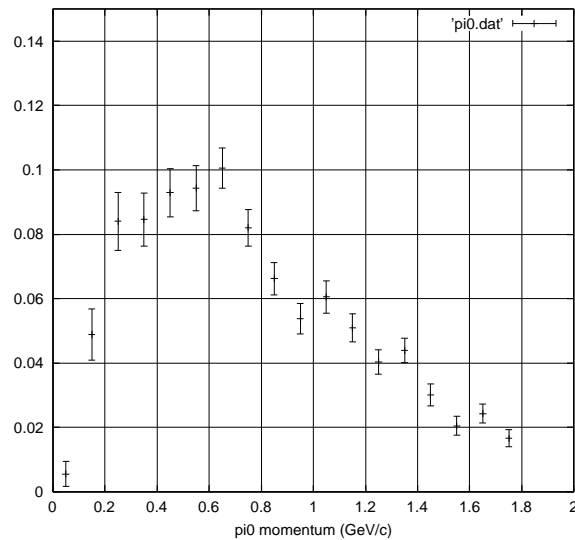


図 3.7: π^0 運動量分布 (monte)

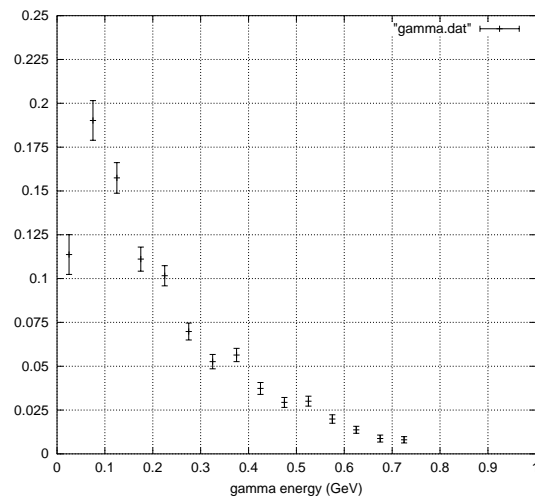


図 3.8: γ エネルギー分布 (monte)

そこで、 $D^0 \rightarrow \phi\pi^0$ 崩壊モードの“ π^0 運動量分布”と“ γ エネルギー分布”と同様の“ π^0 運動量分布”と“ γ エネルギー分布”を持つ崩壊モードによって、“ π^0 運動量”と“ γ エネルギー”のカットの値を決定する必要がある。そこで、 $D^0 \rightarrow K^-\pi^+\pi^0$ 崩壊モードの π^0 を用いて、“ π^0 運動量”と“ γ エネルギー”のカットの値を決定した。このとき用いたデータ量は積分ルミノシティ $1.13fb^{-1}$ である。

次にカット値の決定方法について説明する。カット値を求めるためには

$$\frac{N}{\sigma_N} \quad (3.6)$$

と定義される値を用いる。この値は、 $D^0 \rightarrow K^-\pi^+\pi^0$ の不変質量のヒストグラム (図 3.9) で求めたシグナルの数 N とそのエラー σ_N の比をとったものである。この N と σ_N は、次のガウス関数を Likelihood でフィットすることによって求めることができる。

$$F(x) = A + Bx + C \exp \left[-\frac{(x - X)^2}{2\sigma^2} \right] \quad (3.7)$$

これを、調べたいカットの値を変化させながらカット毎にシグナル N のとそのエラー σ_N を求め、 N/σ_N を計算する。

そして、 N/σ_N が最も大きくなる場所をカット値とする。

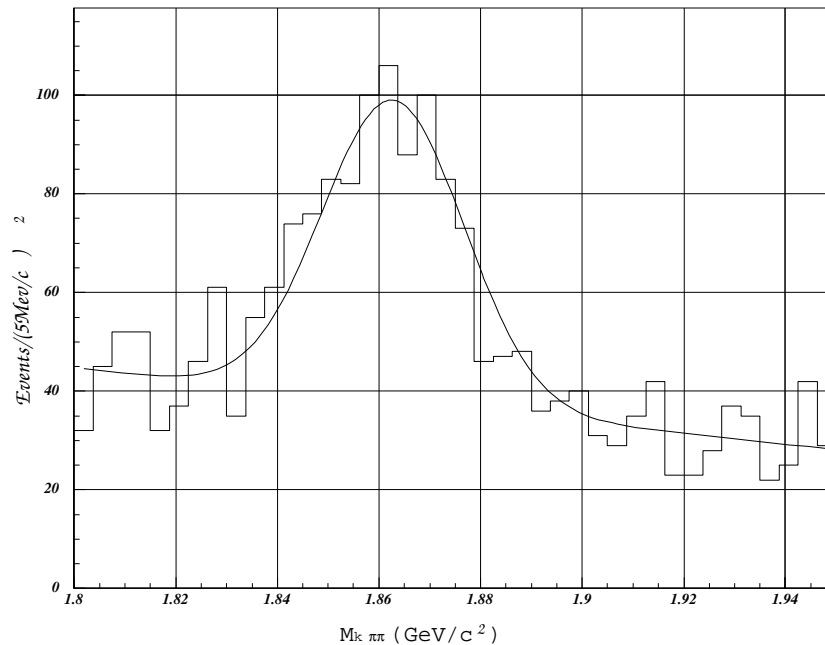


図 3.9: $D^0 \rightarrow K^-\pi^+\pi^0$ の質量分布

π^0 運動量カット π^0 運動量のカット値を決定するために、 $100\text{MeV}/c$ の間隔でカットを変化させていったときの N/σ_N を求めた。横軸を π^0 運動量カットの値、縦軸を N/σ_N としてプロットした結果が図 (3.10) である。ここで、図 (3.10) は規格化されている。よって以上より、 π^0 運動量カットの値を

$$\pi^0 \text{ 運動量} > 500\text{MeV} \quad (3.8)$$

と決定した。

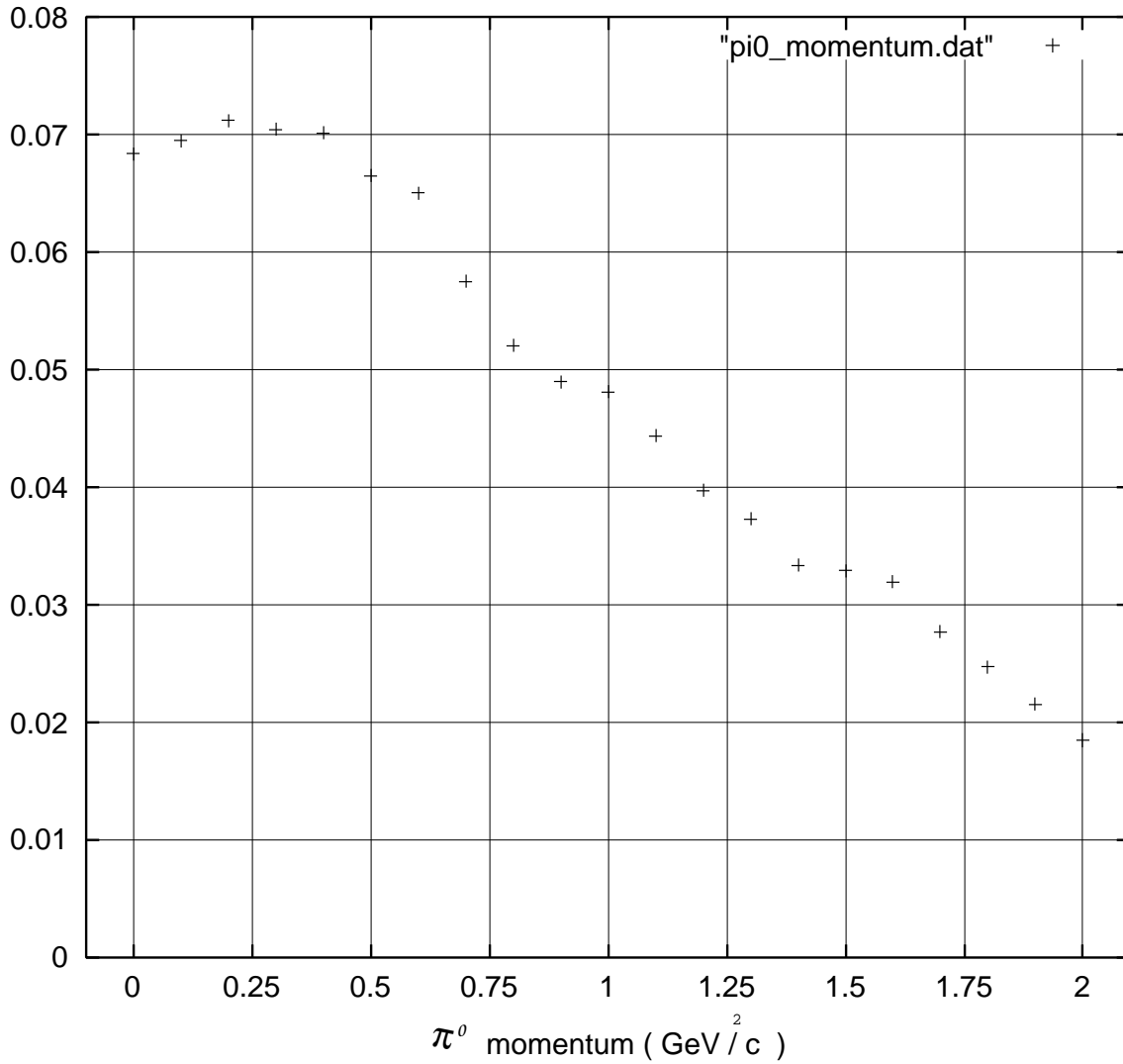


図 3.10: π^0 運動量カット

γ エネルギーカット γ エネルギーのカット値を決定するために、100MeV の間隔でカットを変化させていったときの N/σ_N を求めた。横軸を γ エネルギーカットの値、縦軸を N/σ_N としてプロットした結果が図 (3.11) である。ここで、図 (3.11) は規格化されている。よって以上より、 γ エネルギーカットの値を

$$\gamma \text{エネルギー} > 100 \text{MeV} \quad (3.9)$$

と決定した。

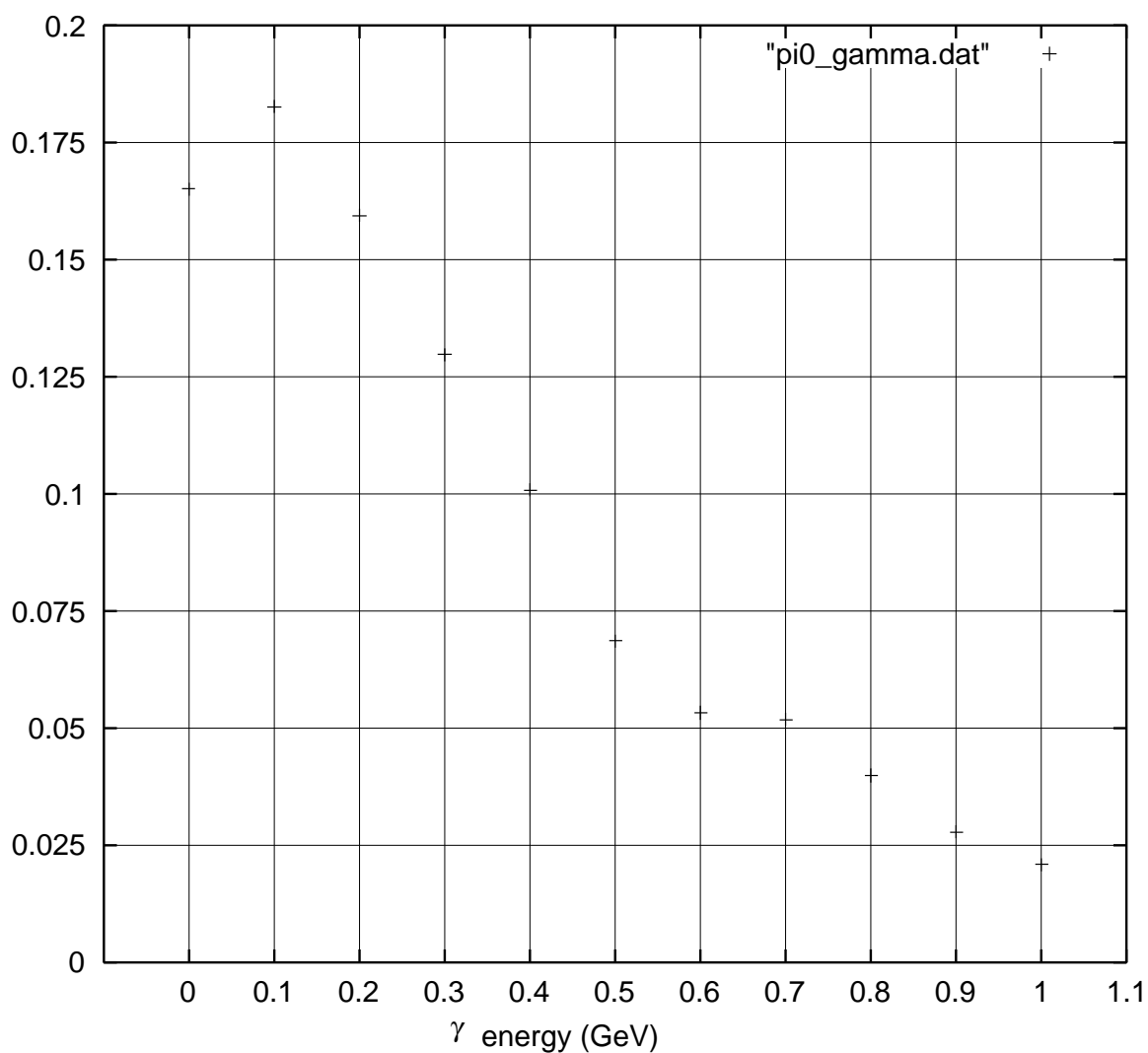


図 3.11: γ エネルギーカット

$D^* - D^0$ 質量差カット

これまでに求めたカットによってイベントセレクションした ϕ と π^0 を再構成して、その不変質量をヒストグラムにしたものを図(3.12)に示す。そしてさらに荷電 π 中間子を再構成して、その不変質量をヒストグラムにしたものが図(3.13)である。

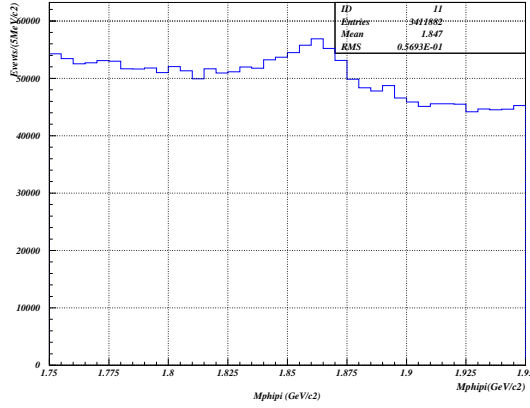


図 3.12: $M_{\phi\pi}$

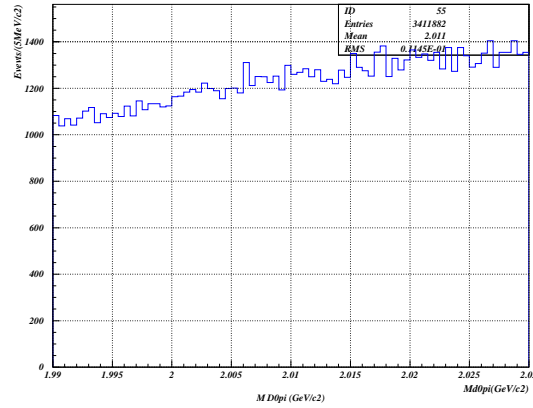


図 3.13: $M_{D^0\pi^\pm}$

図(3.12)の $M_{\phi\pi^0}$ のヒストグラムでは、 D^0 の不変質量 $1865(\text{MeV}/c^2)$ のあたりにピークが見える。これは、 $D^0 \rightarrow \phi\pi^0$ によるものであると考えられる。しかしこのままではバックグラウンドが多すぎて、シグナルのピークがはっきりしない。また図(3.12)においては、バックグラウンドのためにシグナルが分からない。

そこで、 $D^{*\pm}$ の不変質量 $M_{D^0\pi^\pm}$ と D^0 の不変質量 $M_{\phi\pi^0}$ の差、 $\Delta M = M_{D^0\pi^\pm} - M_{\phi\pi^0}$ のヒストグラムを図(3.14)に示す。図(3.14)を見ると、 $D^{*\pm}$ の不変質量 $M_{D^0\pi^\pm}$ と D^0 の不変質量 $M_{\phi\pi^0}$ の ΔM の値である $145.4(\text{MeV}/c^2)$ のあたりにピークが見える。これは、 $D^{*\pm}$ の不変質量 $M_{D^0\pi^\pm}$ と D^0 の不変質量 $M_{\phi\pi^0}$ の差であると考えられる。よって、このヒストグラムにガウス関数をフィットし、その σ を求めて、 ΔM の平均値から、 $\pm 3\sigma$ カットで行なう。

そのカットの値は、図3.14から

$$143.4\text{MeV}/c^2 < \Delta M < 147.4\text{MeV}/c^2 \quad (3.10)$$

となる。ここで、 $\sigma = 0.66\text{MeV}/c^2$ より $3\sigma \simeq 2\text{MeV}/c^2$ であり、これはガウス関数をフィットして求めた。

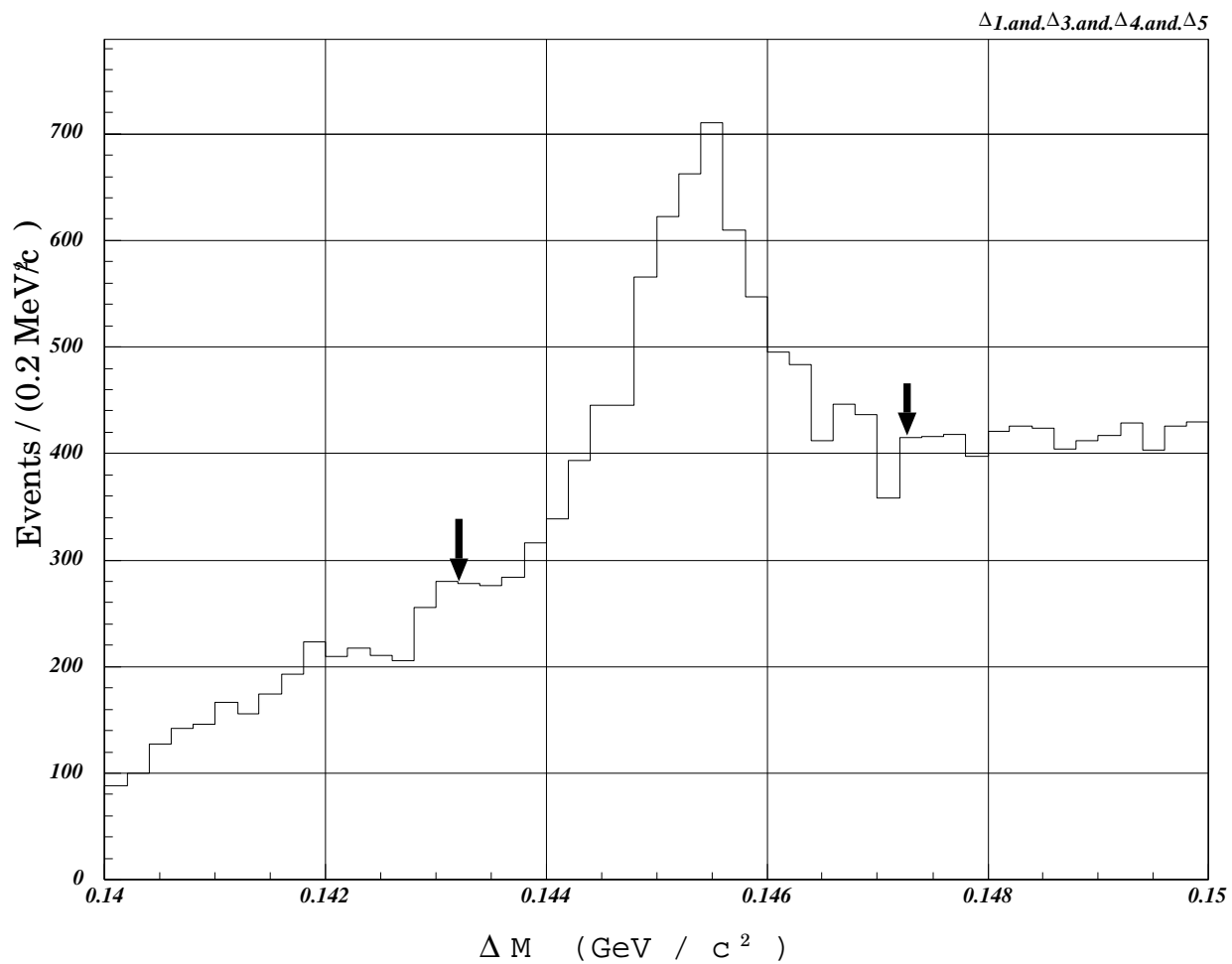


図 3.14: $D^* - D^0$ 質量差分布カット

M_{diff} カット以外のすべてのカット、 $dr < 0.5\text{cm}$ 、 $dz < 1.5\text{cm}$ 、 $P_{\pi^0} > 500\text{MeV}/c$ 、 $E_{\gamma} > 100\text{MeV}$ 、 $1012\text{MeV}/c^2 < M_{K^+K^-} < 1028\text{MeV}/c^2$ 、 $KID > 0.51$ を入れている。

$D^0 \rightarrow \phi\pi^0$ シグナル

図 (3.12) の $M_{\phi\pi^0}$ に前節で求めた

$$143.4\text{MeV}/c^2 < \Delta M < 147.4\text{MeV}/c^2 \quad (3.11)$$

のカットを入れて、再び $M_{\phi\pi^0}$ の質量分布をヒストグラムした結果が図 (3.15) である。前節での、図 (3.12) と比べてバックグラウンドが落ちて、シグナルがよりはっきりと見えるようになった。

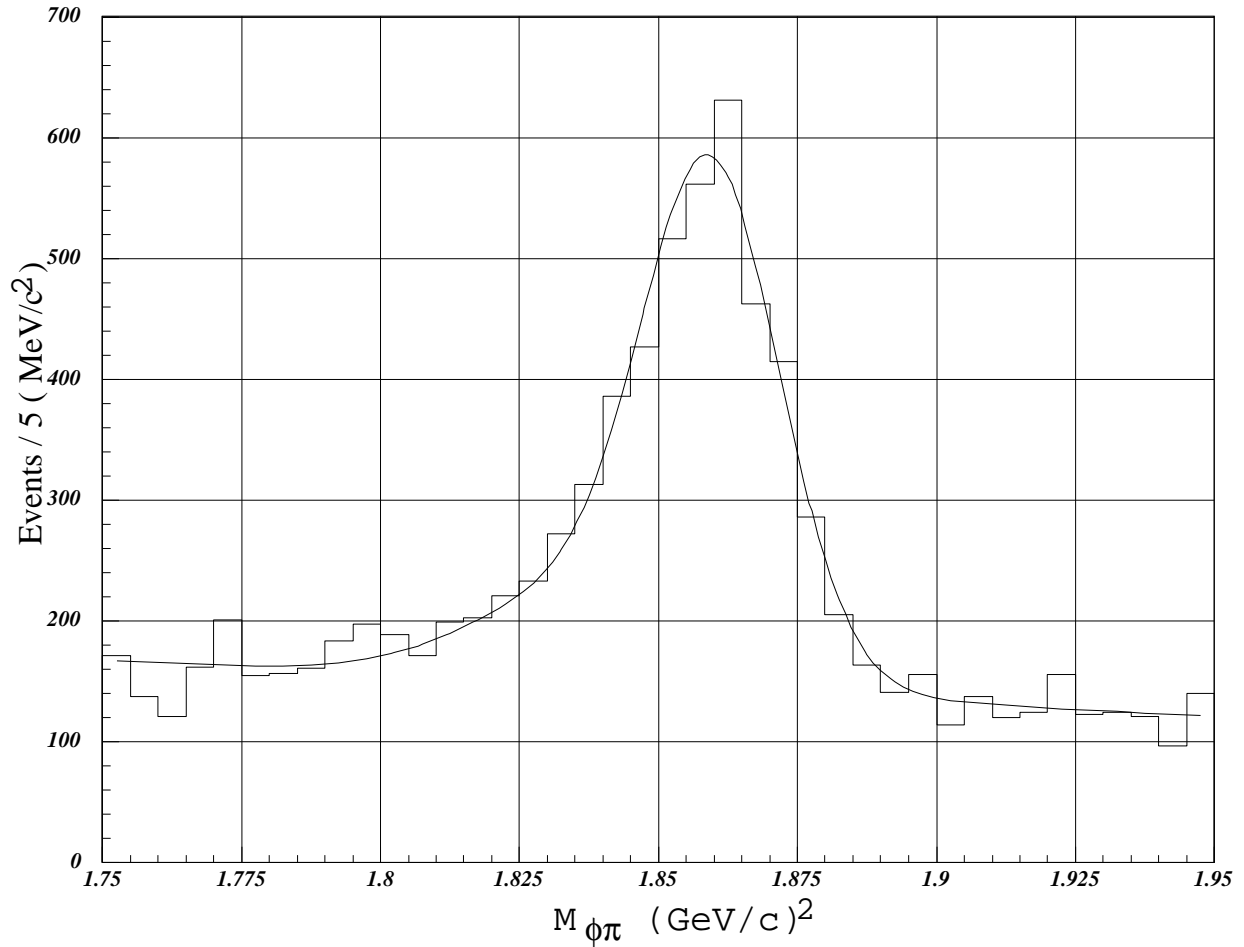


図 3.15: D^0 質量分布 ($D^0 \rightarrow \phi\pi^0$ シグナル)

すべてのカット、 $dr < 0.5\text{cm}$ 、 $dz < 1.5\text{cm}$ 、 $P_{\pi^0} > 500\text{MeV}/c$ 、 $E_{\gamma} > 100\text{MeV}$ 、 $1012\text{MeV}/c^2 < M_{\phi} < 1028\text{MeV}/c^2$ 、 $143.3\text{MeV}/c^2 < \Delta M < 143.3\text{MeV}/c^2$ 、 $KID > 0.51$ を入れている。

次に、このシグナルが $D^0 \rightarrow \phi\pi^0$ のものであるかを確認するために、 $\cos\theta$ をプロットする。この $\cos\theta$ は、図 3.16 に示されているように、 ϕ 重心系での ϕ が飛んでいく方向と、 ϕ が K^+K^- に崩壊したときの方向との間の角を θ としたときの余弦である。

図 (3.16) において、 D^0 は、スピン $S_{D^0} = 0$ を、 ϕ はスピン $S_\phi = 1$ を、そして π^0 はスピン $S_{\pi^0} = 0$ を持つ。よって、 D^0 の系から見たときの D^0 が $\phi\pi^0$ に崩壊する前の全角運動量は

$$J_{\text{before}} = L_{\text{before}} + S_{\text{before}} = 0 + 0 = 0 \quad (3.12)$$

となる。ここで、 L_{before} と S_{before} は、それぞれ崩壊前の軌道角運動量とスピンであり、 $L_{\text{before}} = 0$ である。

また、 $\phi\pi^0$ へ崩壊した後の全角運動量は

$$J_{\text{after}} = L_{\text{after}} + S_{\text{after}} = L_{\text{after}} + 1 \quad (3.13)$$

となる。ここで、 L_{after} と S_{after} は、それぞれ崩壊後の軌道角運動量とスピンである。そして、角運動量保存から

$$J_{\text{before}} = J_{\text{after}} \quad (3.14)$$

となるためには、 $L_{\text{after}} = 1$ でなければならないことが分かる。

次に、 z 方向について考える。角運動量の保存則より

$$(l_{\text{before}})_z + (s_{D^0})_z = (l_{\text{after}})_z + (s_\phi)_z + (s_{\pi^0})_z \quad (3.15)$$

のである。ここで $(l_{\text{before}})_z$ 、 $(s_{D^0})_z$ 、 $(l_{\text{after}})_z$ 、 $(s_{\pi^0})_z$ はそれぞれ、崩壊前の z 方向の軌道角運動量と D^0 のスピン、崩壊後の z 方向の軌道角運動量と π^0 のスピんで、これらはすべてゼロである。よって、式 (3.15) より ϕ の z 方向のスピン $(s_\phi)_z = 0$ であることが分かる。

故に ϕ 粒子が崩壊した K^+K^- の波動関数は

$$Y|1,0\rangle = \sqrt{\frac{3}{4\pi}} \cos\theta \quad (3.16)$$

となり、 $\cos\theta$ に比例した波動関数を持つ。よって、 ϕ 粒子の重心系での $\cos\theta$ を横軸にとってプロットすると、 $(\cos\theta)^2$ 分布するはずである。そして、実際にプロットした結果が図 (3.17) である。この $\cos\theta$ プロットは、 $\cos\theta$ の範囲 $(-1) \sim (+1)$ を 10 分割したときのそれぞれの不変質量 $M_{\phi\pi^0}$ ヒストグラムでのシグナルの数をプロットしたものである。ここで、図 (3.17) は規格化してある。

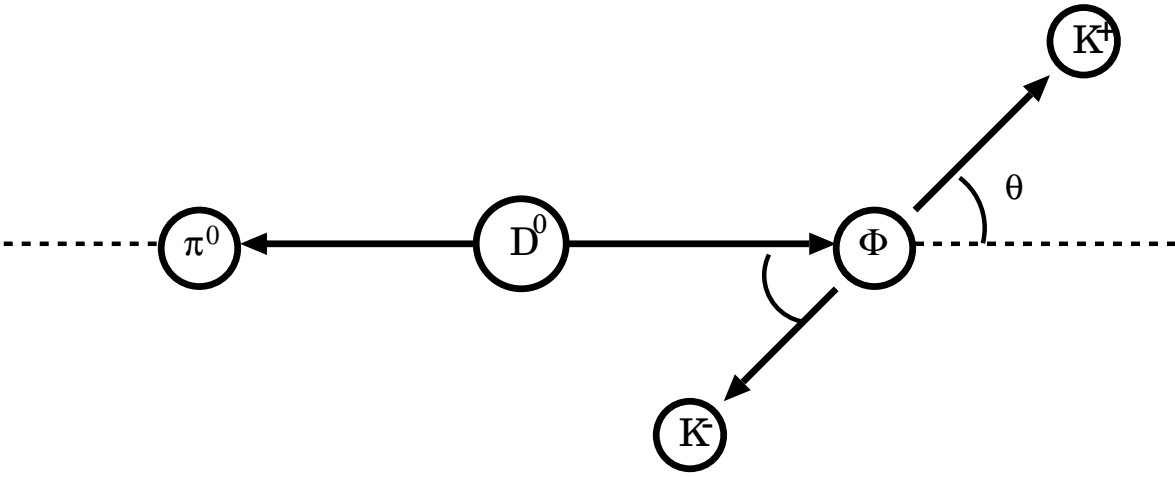


图 3.16: $D^0 \rightarrow \phi \pi^0$ 崩壊

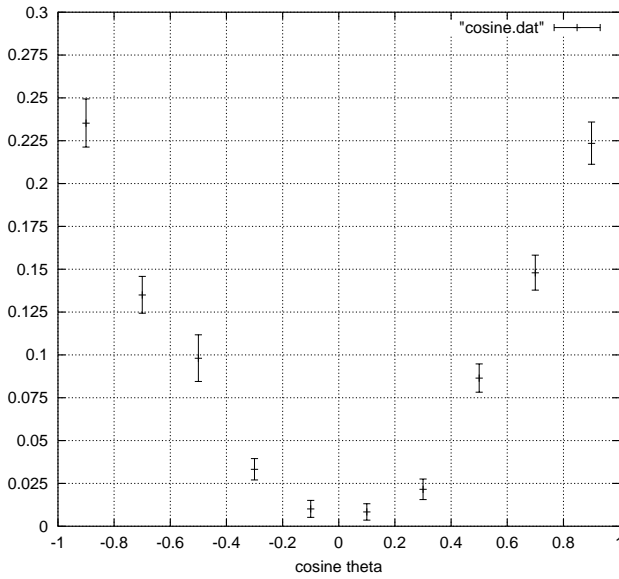


图 3.17: $\cos \theta$ (data)

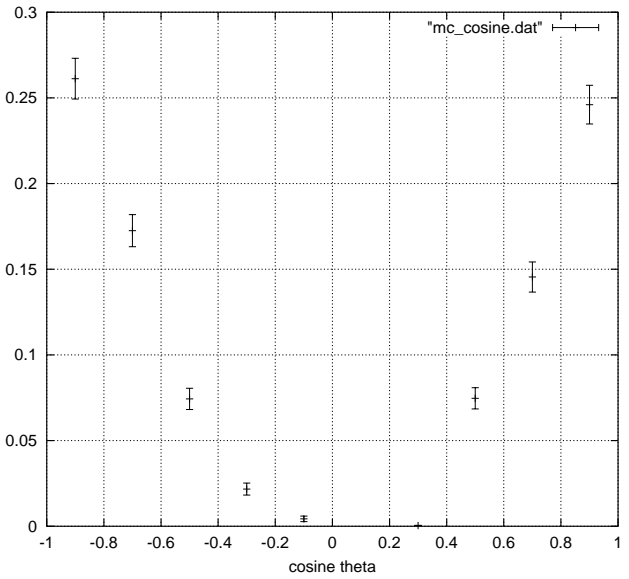


图 3.18: $\cos \theta$ (monte)

検出効率

以上より、図(3.15)のシグナルは $D^0 \rightarrow \phi\pi^0$ によるものと確認できた。次に、検出効率を求めために、 $D^0 \rightarrow \phi\pi^0$ のシグナルモンテカルロを、以下のように作成した。それぞれのイベント数の比は、反応断面積の比によって決めている。

- $b\bar{b}$ イベント 100000 個
- $c\bar{c}$ イベント 115000 個
- $u\bar{u}, d\bar{d}, s\bar{s}$ イベント 185000 個

$D^0 \rightarrow \phi\pi^0$ シグナルモンテカルロでは、 $B(D^{*+} \rightarrow D^0\pi^+)=100\%$ 、 $B(D^0 \rightarrow \phi\pi^0)=100\%$ と崩壊確率を設定してある。作成したモンテカルロは、実験データによる $\cos\theta$ (図3.17) とモンテカルロシミュレーションによる $\cos\theta$ (図3.18) の一致により正しく作成されたことが確認できる。

$D^0 \rightarrow \phi\pi^0$ シグナルモンテカルロから、求めた検出効率のまとめを3.4に示す。

カット	カット値	検出効率
drdz	$dr < 0.5cm, dz < 1.5cm$	$78.8 \pm 2.5 \%$
KID	$KID > 0.51$	$89.5 \pm 2.9\%$
π 運動量	$P_{\pi^0} > 500 \text{ MeV}/c$	$88.2 \pm 2.8\%$
γ エネルギー	$E_\gamma > 100\text{MeV}$	$83.0 \pm 2.6\%$
$M_{K^+K^-}$	$1012\text{MeV}/c^2 < M_{K^+K^-} < 1028\text{MeV}/c^2$	$89.2 \pm 2.8\%$
$\Delta M = M_{\phi\pi^0} - M_{K^+K^-}$	$143.4\text{MeV}/c^2 < \Delta M < 147.4\text{MeV}/c^2$	$14.2 \pm 0.7 \%$
合計	-	$6.9 \pm 0.2\%$

表 3.1: $D^0 \rightarrow \phi\pi^0$ に対するカット検出効率

また、後で $D^0 \rightarrow \phi\pi^0$ の崩壊確率を求める上で必要となる $D^0 \rightarrow K^+K^-$ 崩壊モードに対する検出効率も、表(3.2)に示す。

カット	カット値	検出効率
drdz	$dr < 0.5, dz < 1.5cm$	-
KID	$KID > 0.51$	-
$D^{*+} - D^0$ 質量差	$143.3\text{MeV}/c^2 < \Delta M < 147.3\text{MeV}/c^2$	-
合計	-	$21.9 \pm 0.7\%$

表 3.2: $D^0 \rightarrow K^+K^-$ に対するカット検出効率

3.1.3 まとめ ($D^0 \rightarrow \phi\pi^0$)

求めた検出効率を用いて、 $D^0 \rightarrow \phi\pi^0$ 崩壊モードの崩壊確率を求める。そのために次の式を用いる。

$$\frac{B(D^0 \rightarrow \phi\pi^0)}{B(D^0 \rightarrow K^+K^-)} = \frac{N_{\phi\pi^0}}{N_{K^+K^-}} = \frac{n_{\phi\pi^0}/\epsilon_{\phi\pi^0}}{n_{K^+K^-}/\epsilon_{K^+K^-}} \quad (3.17)$$

ここで、

- 検出された $D^0 \rightarrow \phi\pi^0$ の数: $n_{\phi\pi^0} = 3276 \pm 91$
- 検出された $D^0 \rightarrow K^+K^-$ の数: $n_{K^+K^-} = 35940 \pm 221$
- $D^0 \rightarrow \phi\pi^0$ の検出効率: $\epsilon_{\phi\pi^0} = 0.069 \pm 0.002$
- $D^0 \rightarrow K^+K^-$ の検出効率: $\epsilon_{K^+K^-} = 0.239 \pm 0.007$
- $D^0 \rightarrow K^+K^-$ の崩壊確率: $B(D^0 \rightarrow K^+K^-) = (4.12 \pm 0.14) \times 10^{-3}$ [22]

である。

以上より、 $D^0 \rightarrow \phi\pi^0$ 崩壊モードの崩壊確率は、

$$B(D^0 \rightarrow \phi\pi^0) = (1.30 \pm 0.04^{(stat)} \pm 0.12^{(sys)}) \times 10^{-3} \quad (3.18)$$

となる。

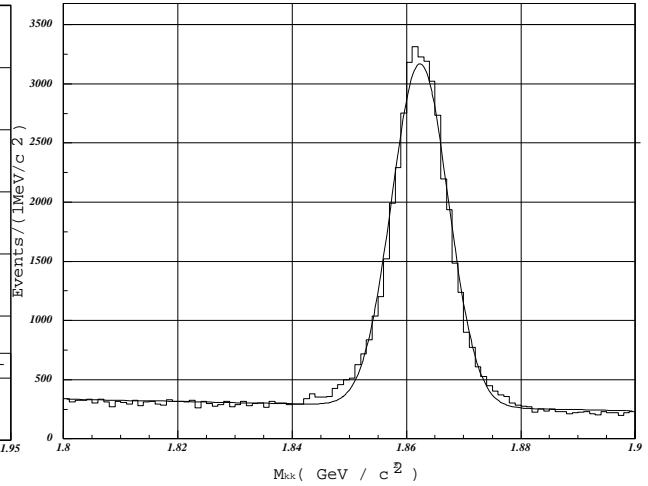
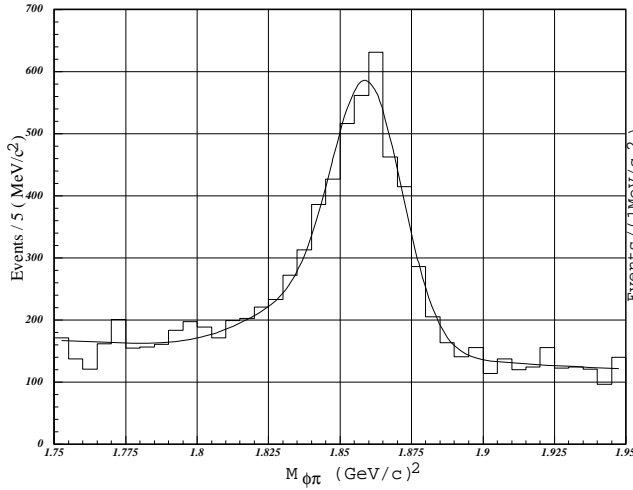


図 3.19: $M_{\phi\pi^0}$ ヒストグラム ($D^0 \rightarrow \phi\pi^0$)

図 3.20: $M_{K^+K^-}$ ヒストグラム ($D^0 \rightarrow K^+K^-$)

3.2 $D^0 \rightarrow \phi \gamma$

3.2.1 目的と物理

最近の実験により、 $B^0 \rightarrow K^* \gamma$ 崩壊が観測された。

$$B(B \rightarrow K^* \gamma) = (4.0 \pm 1.9) \times 10^{-5} \quad (3.19)$$

$$B(b \rightarrow s \gamma) = (2.32 \pm 0.57 \pm 0.35) \times 10^{-4} \quad (3.20)$$

これらの”flavor-changing radiative decay”は $b \rightarrow s \gamma$ というクォークレベルでの変移に関係したものであると解釈することができる。これらの測定された崩壊確率の値と標準理論の予言した値は、エラーの範囲内で一致している。そして、これらの極めて小さな崩壊確率はbクォークから構成されるハドロンの崩壊を検出するためには非常に高い精度が必要とされることを意味している。

しかしながら、このような”B Meson Radiative Decays”はCKM行列要素の比の値を決定するために非常に重要な崩壊モードである。求めることができるCKM行列要素の比としては $|V_{td}|/|V_{ts}|$ がある。これは、” $B \rightarrow \rho \gamma$ ”と” $B \rightarrow K^* \gamma$ ”の崩壊モードの比から測定することが可能である。

$$\frac{B(B \rightarrow \rho \gamma)}{B(B \rightarrow K^* \gamma)} \implies \frac{|V_{td}|}{|V_{ts}|} \quad (3.21)$$

しかし、この問題は非常に重要であるにも関わらず、研究され尽くしたとは言えないのが現状である。そのため、この問題について研究をする必要がある。

そこでまず、”B Meson Radiative Decay”の代わりに”D Meson Radiative Decay”を測定する。そして、その”D Meson Radiative Decay”を測定することによって得ることができた計算テクニックを用いて”B Meson Radiative Decay”についてのさらなる洞察を得ることができる。

”Charm Hadron”に関するデータは、物理的に重要なレベルの精度を達成できるだけの十分なデータ量が得られてきている。その最も、印象的な例としてはnon-leptonic decay $D^0 \rightarrow K^+ \pi^-$ の測定がある。

$$\frac{B_{D^0 \rightarrow K^+ \pi^-}}{B_{D^0 \rightarrow K^- \pi^+}} = 0.0077 \pm 0.0025 \pm 0.0025 \quad (3.22)$$

この変移は、”Doubly Cabibbo suppressed transition”の証拠として解釈されている。

次に、主な”D Meson Radiative Decay”の崩壊モードの理論が予言する値と最新の実験による上限値を表(3.3)に示す。また、それぞれの崩壊モードに対するファインマンダイアグラムを図(3.21)に示す。

”D Meson Radiative Decay”の主な崩壊モードは、以下の4種類がある。

$$D^0 \rightarrow \phi \gamma, D^0 \rightarrow \omega \gamma, D^0 \rightarrow \bar{K}^{*0} \gamma, D^0 \rightarrow \rho \gamma \quad (3.23)$$

しかし、このうちの2つの崩壊モードである $D^0 \rightarrow \bar{K}^*\gamma$ と $D^0 \rightarrow \rho\gamma$ は、バックグラウンドの影響が非常に大きいと考えられる。CLEO Collaboration の論文 [7] では $D^0 \rightarrow K^-\pi^+\pi^0$ (崩壊確率= $3.1 \pm 0.4\%$) 崩壊モードによるバックグラウンドの影響があると報告している。図(3.22),(3.23)は、それぞれモンテカルロシミュレーションによる $D^0 \rightarrow \bar{K}^*\gamma$, $D^0 \rightarrow \rho\gamma$ のシグナルとバックグラウンドの様子をプロットしたものである。

図(3.22)のヒストグラムは、 $D^0 \rightarrow K^-\pi^+\pi^0$ によるバックグラウンドを、solid line は期待される $D^0 \rightarrow \bar{K}^*\gamma$ のシグナルのピークを表している。このバックグラウンドは、 π^0 が崩壊した2つの γ のうち1つが検出器によって検出されないために、 $D^0 \rightarrow \bar{K}^*\gamma$ の終状態と同じになってしまうために生じるものである。よって $D^0 \rightarrow \bar{K}^*\gamma$ はバックグラウンドの影響が大きいことがわかる。

また、図(3.23)のヒストグラムは、 $D^0 \rightarrow K^-\pi^+\pi^0$ によるバックグラウンドを、solid line は期待される $D^0 \rightarrow \rho\gamma$ シグナルのピークを表している。このバックグラウンドは、 π^0 が崩壊した2つの γ のうち1つが検出器によって検出されないことと、 K^- と π^+ の内、 K^- を π^- として解析してしまうために起こるものである。 $D^0 \rightarrow \rho\gamma$ についても、 $D^0 \rightarrow \bar{K}^*\gamma$ に比べれば少しはシビアではないが影響があると考えられる。

そして、 $D^0 \rightarrow K^-\pi^+\pi^0$ のような崩壊モードによるバックグラウンドの影響を受けないと考えられる残りの2つの崩壊モード、 $D^0 \rightarrow \omega\gamma$ と $D^0 \rightarrow \phi\gamma$ が選択肢として残される。表(3.3)を見ると $D^0 \rightarrow \phi\gamma$ の方が理論が予言する崩壊モードがより大きい。それゆえ、この実験では表(3.3)に示されている4つの崩壊モードのうち、 $D^0 \rightarrow \phi\gamma$ の崩壊モードを選択し、解析を行なった。

Mode	90 % CL Upper Limit	Theoretical Prediction
$D^0 \rightarrow \phi\gamma$	1.9×10^{-4}	$0.01 \sim 0.34 \times 10^{-4}$
$D^0 \rightarrow \omega\gamma$	2.4×10^{-4}	$0.01 \sim 0.09 \times 10^{-4}$
$D^0 \rightarrow \bar{K}^*\gamma$	7.6×10^{-4}	$0.7 \sim 8.0 \times 10^{-4}$
$D^0 \rightarrow \rho\gamma$	2.4×10^{-4}	$0.01 \sim 0.63 \times 10^{-4}$

表 3.3: 主な放射性崩壊モードの崩壊確率 [7]

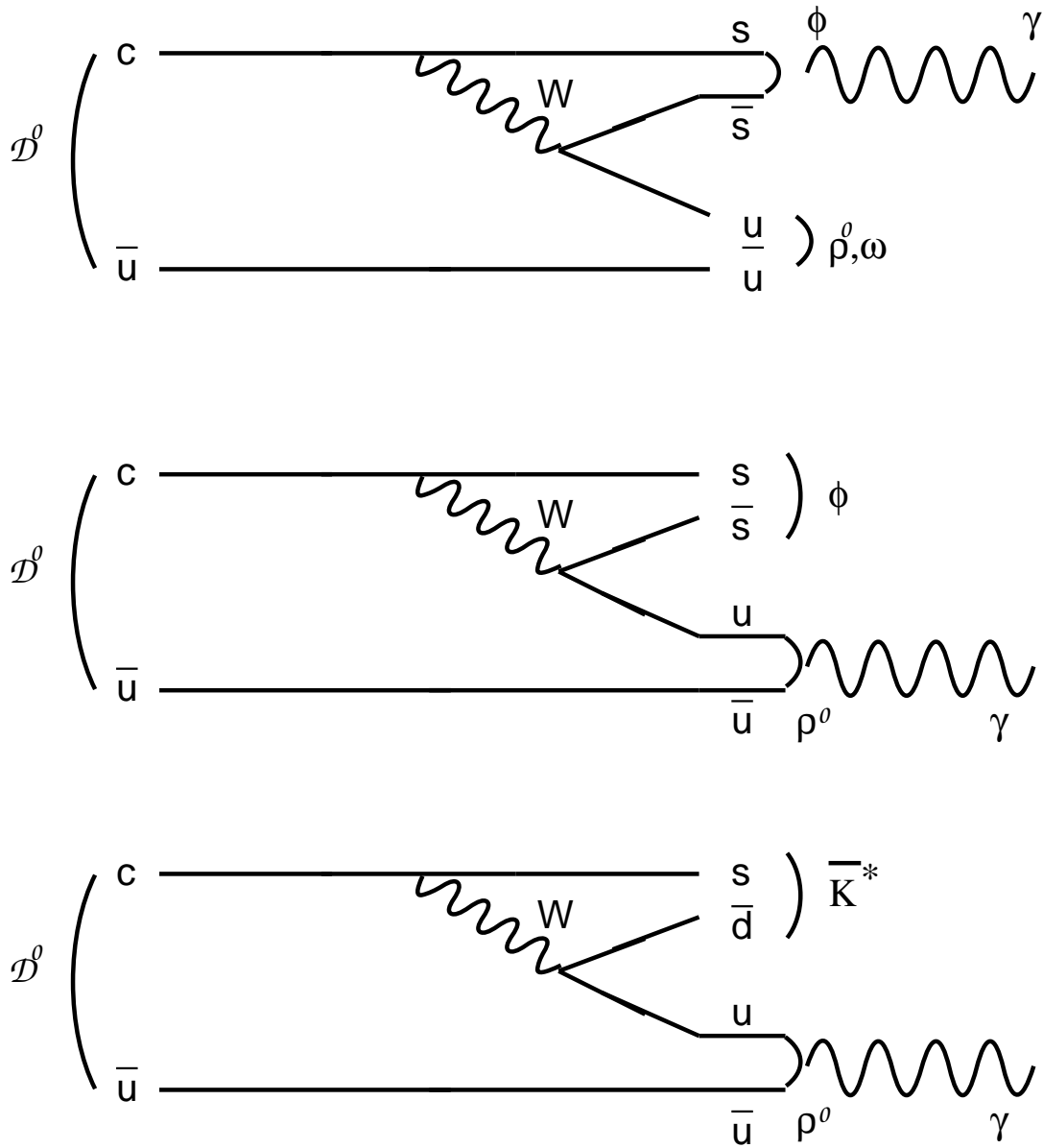


図 3.21: 中性 D 中間子のファインマンダイアグラム

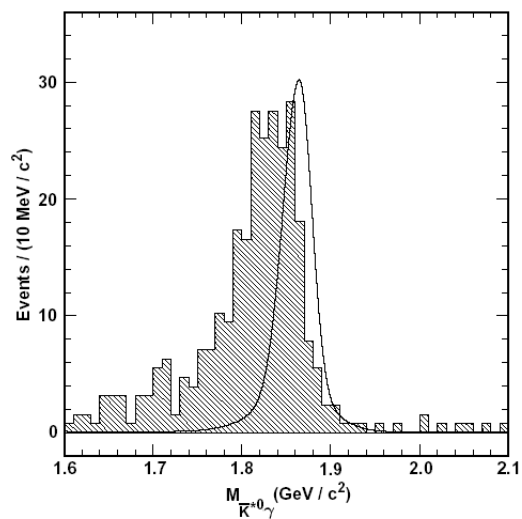


図 3.22: $D^0 \rightarrow K^-\pi^+\pi^0$ モンテカルロによる不変質量 $M_{K^*0\gamma}$ 分布 from CLEO [7]

ヒストグラムは, $D^0 \rightarrow K^-\pi^+\pi^0$ によるバックグラウンド, solid line は期待されるシグナルである.

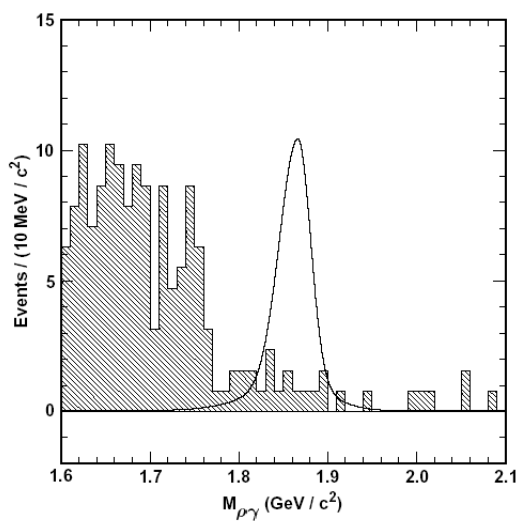


図 3.23: $D^0 \rightarrow K^-\pi^+\pi^0$ モンテカルロによる不変質量 $M_{\rho\gamma}$ 分布 from CLEO [7]

ヒストグラムは, $D^0 \rightarrow K^-\pi^+\pi^0$ によるバックグラウンド, solid line は期待されるシグナルである.

$D^{*\pm}$ 運動量カット

IP における e^+e^- ビームの衝突により, 以下のように $q\bar{q}$ イベントが発生する.

$$e^+e^- \rightarrow b\bar{b}, c\bar{c}, u\bar{u}, d\bar{d}, s\bar{s} \quad (3.24)$$

e^+e^- の衝突により発生する D 中間子は 2 つの起源があり, D 中間子が主に生成されるのは $b\bar{b}$ と $c\bar{c}$ からである. $b\bar{b}$ からは, B 中間子が発生し, その B 中間子が崩壊することにより D 中間子が, $c\bar{c}$ からは直接 D 中間子が発生する.

しかし, $b\bar{b}$ イベントから発生した D 中間子は運動量が低いためバックグラウンドの影響が考えられる. そこで, $c\bar{c}$ イベントから発生した D 中間子のみを選択する必要がある. そのために $D^{*\pm}$ 運動量カットを用いる.

$P_{D^{*\pm}}$ の値は CLEO の実験でモンテカルロシミュレーションを用いて求めた値を使用した.

$$P_{D^{*\pm}} > 3\text{GeV}/c \quad (3.25)$$

π ID カット

π ID カットとは検出された粒子が π 中間子である粒子を選択するためのカットである. これは $D^{*\pm} \rightarrow D^0\pi^\pm$ の π^\pm に対して行なわれる. モンテカルロシミュレーションによる π ID のヒストグラムを, 図 (3.25) に示す.

横軸は π 中間子である確率で, 縦軸はイベント数で Log scale である. π 中間子である確率が 100% であるイベントは 1 に, π 中間子である確率が 0% であるイベントは 0 に, そして, 判定できないイベントは 0.5 になる.

$$\pi ID > 0.51 \quad (3.26)$$

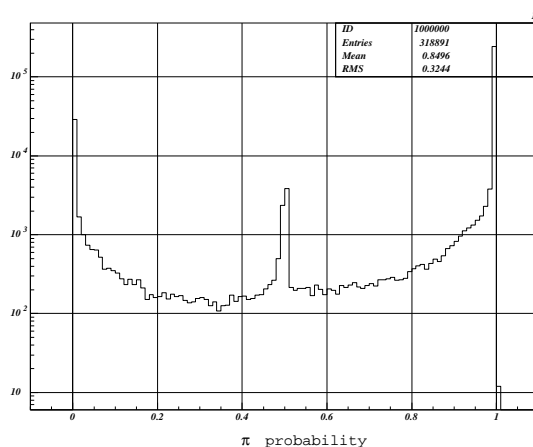


図 3.25: PID(monte)

$D^0 \rightarrow \phi\gamma$ シグナル

以上のカットを入れた $M_{\phi\gamma}$ のヒストグラムが図 (3.26) である. これを見ると分かるように D^0 の不変質量 $1865\text{MeV}/c^2$ のあたりにピークを確認することができない.

そこで, 考えられるバックグラウンドをモンテカルロシミュレーションによって求める必要がある. バックグラウンドとして解析に影響を与えると考えられるモードとして, 前節で崩壊確率を求めた $D^0 \rightarrow \phi\pi^0$ の崩壊モードがある. この $D^0 \rightarrow \phi\pi^0$ の π^0 は2つの γ に崩壊する. この2つの γ のうち, 1つが検出器によって検出されないことがある. その場合, $D^0 \rightarrow \phi\pi^0$ の終状態が $D^0 \rightarrow \phi\gamma$ と一致してしまうので, それがバックグラウンドとなり, $D^0 \rightarrow \phi\gamma$ の解析に影響を与えると考えられる.

モンテカルロシミュレーションによって求めた $D^0 \rightarrow \phi\pi^0$ バックグラウンドを図 (3.27) に示す.

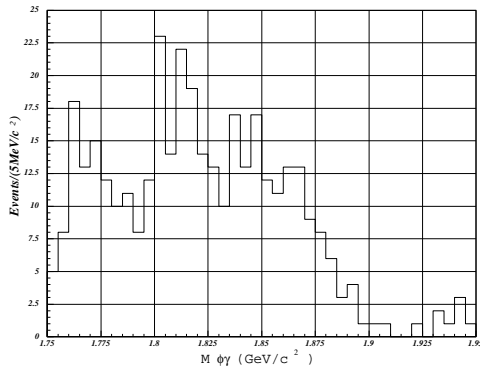


図 3.26: $M_{\phi\gamma}$

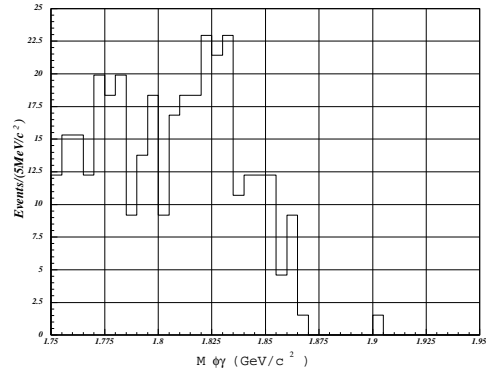


図 3.27: $D^0 \rightarrow \phi\pi^0$ バックグラウンド (monte)

そして, $M_{\phi\gamma}$ (図 3.26) から $D^0 \rightarrow \phi\pi^0$ バックグラウンド (図 3.27) を差し引いたものを図 (3.28) に示す. これから分かるように, D^0 の不変質量 $1865\text{MeV}/c^2$ のところにピークが見える. これが, $D^0 \rightarrow \phi\gamma$ によるものである可能性がある.

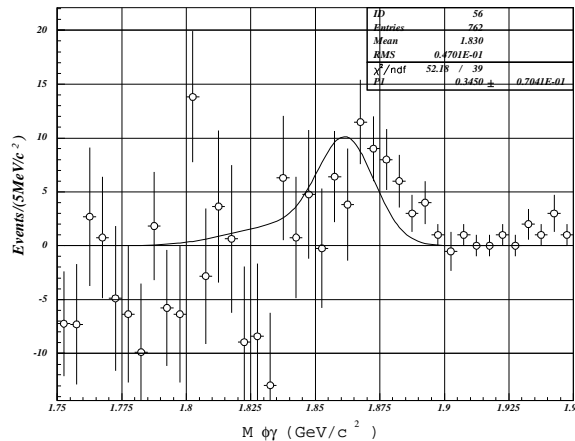


図 3.28: $M_{\phi\gamma}$ after subtracting $D^0 \rightarrow \phi\pi^0$ background

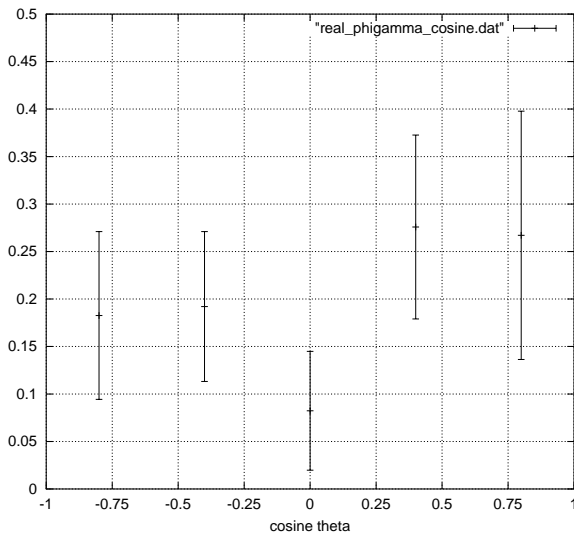


図 3.29: $\cos \theta(\text{data})$

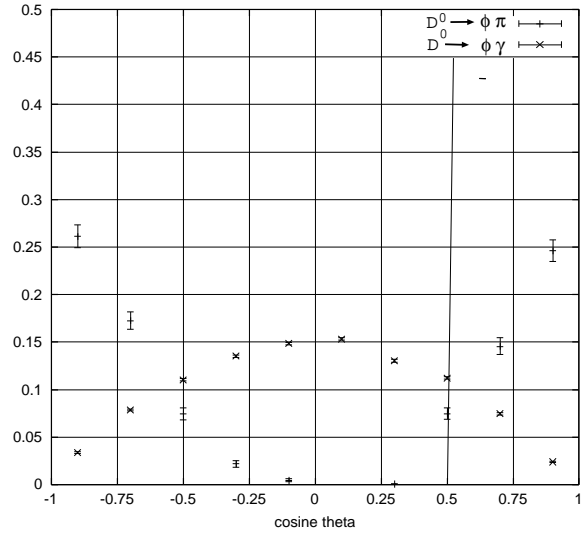


図 3.30: $\cos \theta(\text{monte})$

このシグナルが $D^0 \rightarrow \phi\gamma$ であるか確認するために $D^0 \rightarrow \phi\pi^0$ の場合と同様に、 $\cos \theta$ をプロットする。 $D^0 \rightarrow \phi\gamma$ の場合、 ϕ が崩壊した K^+K^- の波動関数は

$$Y|1, \pm 1 \rangle \propto \sin \theta \quad (3.27)$$

である。よって $\cos \theta$ プロットをしたとき、図 (3.30) のモンテカルロシミュレーションのように $1 - \cos^2 \theta$ 分布をするはずである。

そして、実際にデータをプロットした結果を図 (3.29) に示す。この $\cos \theta$ プロットは、 $\cos \theta$ の範囲 $(-1) \sim (+1)$ を 5 つに分けたときのそれぞれの $M_{\phi\gamma}$ ヒストグラムでのシグナルの数をプロットしたものであり、規格化している。

図 (3.29) では、“ $1 - \cos^2 \theta$ ” 分布を確認することができない。それゆえ、図 (3.28) のシグナルが $D^0 \rightarrow \phi\gamma$ のものであるかは現段階では判断できない。

また、この傾向をみるとシグナルと思われるところには“ $\cos \theta$ ” が“ ± 1 ”の近辺に分布しているイベントが存在していることが分かる。そこで、それらのイベントをバックグラウンドと考えてカットを入れてみる。図 (3.30) から判断して、 $-0.6 \leq \cos \leq 0.6$ のカットを入れることにより、 $\cos^2 \theta$ 分布のバックグラウンドを減らすことができることが分かる。

そして、 $D^{*\pm}$ 運動量カットをはずして、 $b\bar{b}$ から生成される D 中間子も取り入れることにより D^0 の数を増やし、そして、 $\cos \theta$ カットを入れたものが図 (3.31) である。このシグナルもまた $D^0 \rightarrow \phi\gamma$ のピークである可能性はあるが、現時点では断定はできない。

そこで、この解析では、このシグナルから“Upper Limit”を出すこととどめることにする。

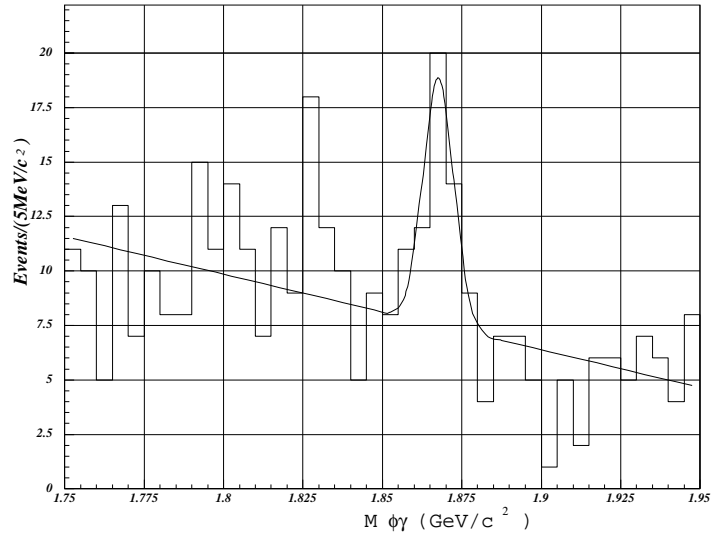


図 3.31: $M_{\phi\gamma}$ ヒストグラム

$dr < 0.1, dz < 1.2, E_\gamma > 830 \text{ MeV}, 1010 \text{ MeV}/c^2 \leq M_{K^+K^-} \leq 1030 \text{ MeV}/c^2, 144.3 \text{ MeV}/c^2 \leq \Delta M \leq 146.5 \text{ MeV}/c^2, -0.6 \leq \cos \theta \leq 0.6, KID > 0.51, \pi ID > 0.51$

3.2.3 検出効率

$D^0 \rightarrow \phi\pi^0$ シグナルモンテカルロから、求めた検出効率のまとめを図 (3.4) に示す。

カット	カット値	検出効率
drdz	$dr < 0.1 \text{ cm}, dz < 1.2 \text{ cm}$	$79.1 \pm 2.9 \%$
$P_{D^{*\pm}}$	$P_{D^{*\pm}} > 3 \text{ GeV}/c$	$54.6 \pm 2.3 \%$
KID, π ID	$\pi ID > 0.51, KID > 0.51$	$88.2 \pm 5.2 \%$
γ エネルギー	$E_\gamma > 830 \text{ MeV}$	$62.0 \pm 2.2 \%$
$M_{K^+K^-}$	$1010 \text{ MeV}/c^2 < M_{K^+K^-} < 1030 \text{ MeV}/c^2$	$95.0 \pm 3.8 \%$
$\Delta M = M_{\phi\pi^0} - M_{K^+K^-}$	$144.3 \text{ MeV}/c^2 < \Delta M < 146.5 \text{ MeV}/c^2$	$20.5 \pm 0.4 \%$
$\cos \theta$	$-0.6 < \cos \theta < 0.6$	$79.3 \pm 2.9 \%$
合計	-	$6.2 \pm 0.2 \%$

表 3.4: $D^0 \rightarrow \phi\gamma$ に対するカット検出効率

$D^0 \rightarrow K^+K^-$ の検出効率 $\epsilon_{K^+K^-}$ については $D^0 \rightarrow \phi\pi^0$ のときと同じ (表 3.2) である。

3.2.4 まとめ

求めた検出効率を用いて、 $D^0 \rightarrow \phi\gamma$ 崩壊モードの崩壊確率を求める。そのために次の式を用いる。

$$\frac{B(D^0 \rightarrow \phi\gamma)}{B(D^0 \rightarrow K^+K^-)} = \frac{N_{\phi\gamma}}{N_{K^+K^-}} = \frac{n_{\phi\gamma}/\epsilon_{\phi\gamma}}{n_{K^+K^-}/\epsilon_{K^+K^-}} \quad (3.28)$$

ここで、

- 検出された $D^0 \rightarrow \phi\gamma$ の数: $n_{\phi\gamma} = 27 \pm 9$
- 検出された $D^0 \rightarrow K^+K^-$ の数: $n_{K^+K^-} = 35683 \pm 226$
- $D^0 \rightarrow \phi\gamma$ の検出効率: $\epsilon_{\phi\gamma} = 0.062 \pm 0.002$
- $D^0 \rightarrow K^+K^-$ の検出効率: $\epsilon_{K^+K^-} = 0.239 \pm 0.007$
- $D^0 \rightarrow K^+K^-$ の崩壊確率: $B(D^0 \rightarrow K^+K^-) = (4.12 \pm 0.14) \times 10^{-3}$ [22]

である。

よって、 $D^0 \rightarrow \phi\gamma$ の Upper Limit は

$$B(D^0 \rightarrow \phi\gamma) < 1.9 \times 10^{-5} (90\%CL) \quad (3.29)$$

となる。

また、図(3.31)のシグナルがすべて $D^0 \rightarrow \phi\gamma$ によるものである仮定とした場合、 $D^0 \rightarrow \phi\gamma$ 崩壊モードの崩壊確率は

$$B(D^0 \rightarrow \phi\gamma) = (1.23 \pm 0.40^{(stat)} \pm 0.12^{(sys)}) \times 10^{-5} \quad (3.30)$$

となる。これは、理論の予言されている

$$B(D^0 \rightarrow \phi\gamma) = (0.1 \sim 3.4) \times 10^{-5} \quad (3.31)$$

の範囲内に収まる。

第4章 考察とまとめ

$D^0 \rightarrow \phi\pi^0$ の解析については崩壊確率が

$$B(D^0 \rightarrow \phi\pi^0) = (1.30 \pm 0.04^{(stat)} \pm 0.12^{(sys)}) \times 10^{-3} \quad (4.1)$$

と求めることができた。理論による崩壊確率は、

$$B(D^0 \rightarrow \phi\pi^0) = (0.62 \pm 0.17) \times 10^{-3} \quad (4.2)$$

であり、それよりも少し大きめであった。

また、 $D^0 \rightarrow \phi\gamma$ の解析については D^0 の不変質量 $1864\text{MeV}/c^2$ のところにピークが確認できた。しかし、これが $D^0 \rightarrow \phi\gamma$ によるシグナルのピークであることを断定することができなかった。よって、この解析では Upper Limit を求めるだけにとどめた。

その値は

$$B(D^0 \rightarrow \phi\gamma) < 1.9 \times 10^{-5} (90\%CL) \quad (4.3)$$

となった。

また、図 (3.31) のシグナルがすべて $D^0 \rightarrow \phi\gamma$ によるものである仮定とした場合の $D^0 \rightarrow \phi\gamma$ 崩壊モードの崩壊確率は

$$B(D^0 \rightarrow \phi\gamma) = (1.2 \pm 0.40^{(stat)} \pm 0.12^{(sys)}) \times 10^{-5} \quad (4.4)$$

となる。これは、理論の予言されている

$$B(D^0 \rightarrow \phi\gamma) = (0.1 \sim 3.4) \times 10^{-5} \quad (4.5)$$

の範囲内に収まる。よって、図 (3.31) のシグナルが $D^0 \rightarrow \phi\gamma$ のシグナルであっても不思議ではない。

付録A $B^0 - \bar{B}^0$ 混合

B中間子系で最も特徴的なことは、中性中間子の粒子反粒子混合 $B^0 - \bar{B}^0$ 混合である。この過程は、ボックスダイアグラムという図 A.1 ファインマンダイアグラムで表される。

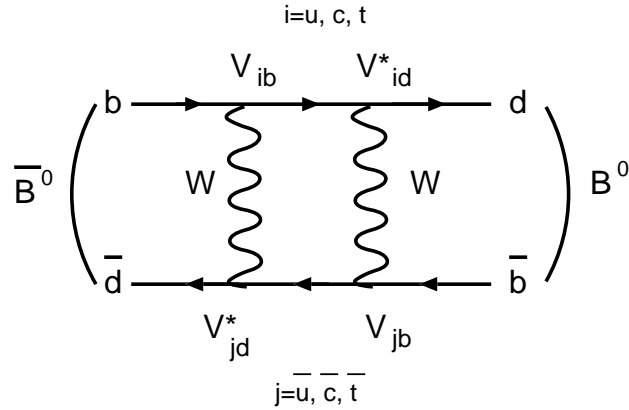


図 A.1: $B^0 - \bar{B}^0$ 混合 ファインマンダイアグラム

この状態の時間発展を決定する方程式は

$$i \frac{d}{dt} \begin{pmatrix} \psi_B(t) \\ \psi_{\bar{B}}(t) \end{pmatrix} = (M - \frac{i}{2}\Gamma) \begin{pmatrix} \psi_B(t) \\ \psi_{\bar{B}}(t) \end{pmatrix} \quad (\text{A.1})$$

である。ここで、 M, Γ は 2×2 のエルミート行列で、 M は B^0, \bar{B}^0 の質量行列を表し、 Γ はその崩壊を表している。そして、これらは CPT 不変性より

$$M = \begin{pmatrix} M_0 & M_{12} \\ M_{12}^* & M_0 \end{pmatrix}, \Gamma = \begin{pmatrix} \Gamma_0 & \Gamma_{12} \\ \Gamma_{12}^* & \Gamma_0 \end{pmatrix} \quad (\text{A.2})$$

と書ける。

式 A.1 を解くと $t=0$ で、純粋に $|B^0\rangle$ で、純粋に $|\bar{B}^0\rangle$ であった状態はそれぞれ

$$|B^0(t)\rangle \simeq \exp\left(-\frac{\Gamma^0}{2}t\right) \left[\cos \frac{\Delta m}{2}t |B^0\rangle - i \frac{q}{p} \sin \frac{\Delta m}{2}t |\bar{B}^0\rangle \right] \quad (\text{A.3})$$

$$|\bar{B}^0(t)\rangle \simeq \exp\left(-\frac{\Gamma^0}{2}t\right) \left[-i \frac{p}{q} \sin \frac{\Delta m}{2}t |B^0\rangle + \cos \frac{\Delta m}{2}t |\bar{B}^0\rangle \right] \quad (\text{A.4})$$

となる。ここで

$$\frac{q}{p} \simeq \frac{M_{12}^*}{|M_{12}|}, \Delta m \simeq 2|M_{12}| \quad (\text{A.5})$$

であり、計算するうえで標準模型(およびその多くの拡張)で予想される関係 $|M_{12}| \gg |F_{12}|$ を用いて Γ_{12} を無視する近似を用いた。

Δm および Γ_0 はそれぞれ中性 B 中間子の 2 つの固有状態の質量差および崩壊幅の平均になっている。

実際に B^0 と \bar{B}^0 がどのくらい混ざっているかを見るためには例えば、 $t=0$ で純粋に B^0 であった状態がその後 B^0 として崩壊したか \bar{B}^0 として崩壊したかを調べれば分かる。このためには、semi-leptonic 崩壊の $B^0 \rightarrow l^+ X$, $\bar{B}^0 \rightarrow l^- X$ を用いればレプトンの電荷の符号を調べることにより B^0 であるか \bar{B}^0 であるかと判別することができる。

\bar{B}^0 と崩壊する確率と B^0 と崩壊する確率の比を r とすると

$$r = \frac{x^2}{2 + x^2} \quad (\text{A.6})$$

となる。ただし、

$$x = \frac{\Delta m}{\Gamma_0} \quad (\text{A.7})$$

である。すなわち、結局のところ x が r を決定し $B^0 - \bar{B}^0$ 混合の大きさを決定することになる。この $B^0 - \bar{B}^0$ 混合という現象をはじめて観測したのは ARGUS(DESY) で、ARGUS, CLEO(Cornell 大), ALEPH(CERN), DELPHI(CERN) らの実験によれば、

$$x = 0.70 \pm 0.06 \quad (\text{A.8})$$

である。

付録B BELLE実験における測定方法

CPの破れの観測は、次の2種類の方法がある.

- 直接的CPの破れ

$$\Gamma(B \rightarrow f) \neq \Gamma(\bar{B} \rightarrow \bar{f}) \quad (\text{B.1})$$

直接的CPの破れとは、Bがある終状態 f へ崩壊する確率と、それをCP変換した崩壊 $\bar{B} \rightarrow \bar{f}$ の確率が異なることである。K中間子系では、この直接的CPの破れは見えていないが、B中間子系では、十分に観測にかかる。しかし、直接的CPの破れでは標準模型のパラメータの決定には理論的不定性がある。

KEKBでは、

$$\Gamma(B^+ \rightarrow K^+\pi^0) \neq \Gamma(B^- \rightarrow K^-\pi^0) \quad (\text{B.2})$$

の崩壊モードで直接的CPの破れを観測する。

- 混合による間接的CPの破れの観測

標準模型では、 B^0 - \bar{B}^0 混合がおこる。始めに B^0 だった粒子に、時間とともに \bar{B}^0 の成分が現れ、 $B^0 \leftrightarrow \bar{B}^0$ の振動をする。 B^0 と \bar{B}^0 の両方から崩壊する終状態 f_{CP} への崩壊を考えると、その2つの振幅が干渉し、そのCP非対象度は

$$\frac{\Gamma(B^0(t) \rightarrow f_{\text{CP}}) - \Gamma(\bar{B}^0(t) \rightarrow f_{\text{CP}})}{\Gamma(B^0(t) \rightarrow f_{\text{CP}}) + \Gamma(\bar{B}^0(t) \rightarrow f_{\text{CP}})} = a \sin(\Delta mt) \equiv a \sin(x \frac{t}{\tau}) \quad (\text{B.3})$$

というように振動する。しかも係数 a が標準模型のパラメータに直接関係している。KM理論によると、CP非保存であれば図2.1の三角形は閉じている。すなわち、

$$\phi_1 + \phi_2 + \phi_3 = \pi \quad (\text{B.4})$$

ならば、CP非保存であることが確かめられる。

- ϕ_1 の測定方法

中性B中間子があるCPの固有状態 f_{CP} に崩壊する場合を考える。 B^0 と \bar{B}^0 は互いにCP変換で移り合うので、 $t=0$ で純粋に B^0 であった中性B中間子が時刻 t に f_{CP} へ崩壊する確率と、 $t=0$ で純粋に \bar{B}^0 であった中性B中間子が時刻 t に f_{CP} へ崩壊する確率はそれぞれ、

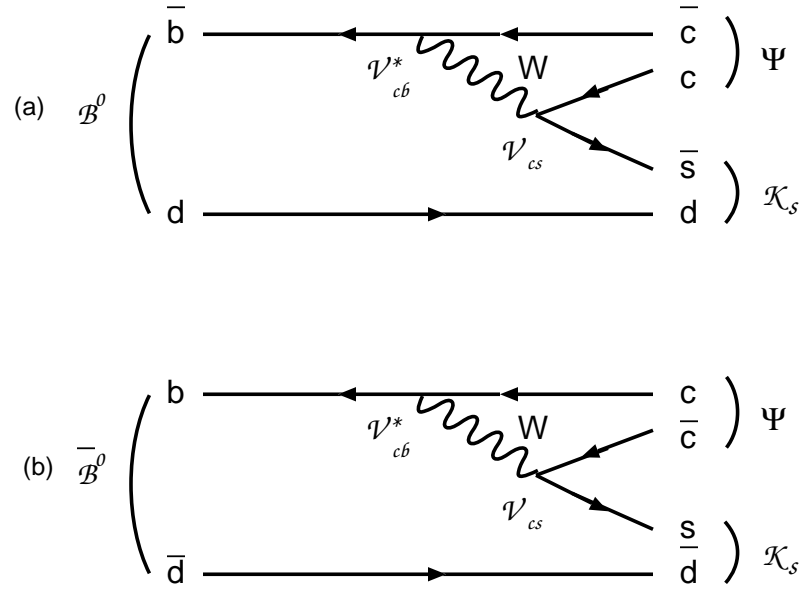


図 B.1: $B \rightarrow \Psi K$

$$\text{Rate}(B^{\circ}(t) \rightarrow f_{\text{cp}}) \propto e^{\Gamma_0 t} \left(1 + \text{Im} \left(\frac{q}{p} \rho_f \right) \sin(\Delta m t) \right) \quad (\text{B.5})$$

$$\text{Rate}(\bar{B}^{\circ}(t) \rightarrow f_{\text{cp}}) \propto e^{\Gamma_0 t} \left(1 - \text{Im} \left(\frac{q}{p} \rho_f \right) \sin(\Delta m t) \right) \quad (\text{B.6})$$

である．ここで， ρ_f は $B^{\circ} \rightarrow f$ と $\bar{B}^{\circ} \rightarrow f$ との確率振幅の比 ($\rho_f = A(B^{\circ} \rightarrow f)/A(\bar{B}^{\circ} \rightarrow f)$) である．

この過程で，CP の破れがあるならば $\text{Rate}(B^{\circ}(t) \rightarrow f_{\text{cp}})$ と $\text{Rate}(\bar{B}^{\circ}(t) \rightarrow f_{\text{cp}})$ の違いが現れるはずである．その違いを出すのは， $\text{Im} \left(\frac{q}{p} \rho_f \right)$ である．また， q/p は $B^{\circ}-\bar{B}^{\circ}$ 混合だけで決まっているから f に依存せず，標準模型では

$$\frac{q}{p} \simeq \frac{M_{12}^*}{|M_{12}|} = \frac{V_{td} V_{tb}^*}{V_{td}^* V_{tb}} \quad (\text{B.7})$$

と書ける．

ここで，gold-plated mode と呼ばれる $f = \Psi K_s$ の場合を考える．この崩壊のファインマンダイアグラムは，図 B.1 のようになる．

したがって，

$$\rho_f = \frac{A(B^{\circ} \rightarrow f)}{A(\bar{B}^{\circ} \rightarrow f)} = - \left(\frac{V_{cb} V_{cs}^*}{V_{cb}^* V_{cs}} \right) * \left(\frac{V_{cd}^* V_{cs}^*}{V_{cb}^* V_{cs}} \right) = - \left(\frac{V_{cb} V_{cd}^*}{V_{cb}^* V_{cd}} \right) \quad (\text{B.8})$$

ここで、負符号は $CP|B^0\rangle = -|\bar{B}^0\rangle$ から、 $V_{cd}^*V_{cs}/V_{cd}V_{cs}^*$ は、 $K^0-\bar{K}^0$ 混合から来ている。よって、

$$Im\left(\frac{q}{p}\rho_f\right) = Im\left(-\frac{V_{td}V_{tb}^*V_{cb}V_{cd}^*}{V_{td}^*V_{tb}V_{cb}^*V_{cd}}\right) = \sin(2\phi_1) \quad (\text{B.9})$$

となる。すなわち、 ΨK_s 崩壊モードで CP の破れを見れば、ユニタリテイトライアングルの一つの角の大きさ ϕ_1 が測定できる。

– ϕ_2 の測定方法

$f=\pi^+\pi^-$ の場合を考える。この過程に寄与する tree level のファインマンダイアグラムは、図 B.2 のようになる。

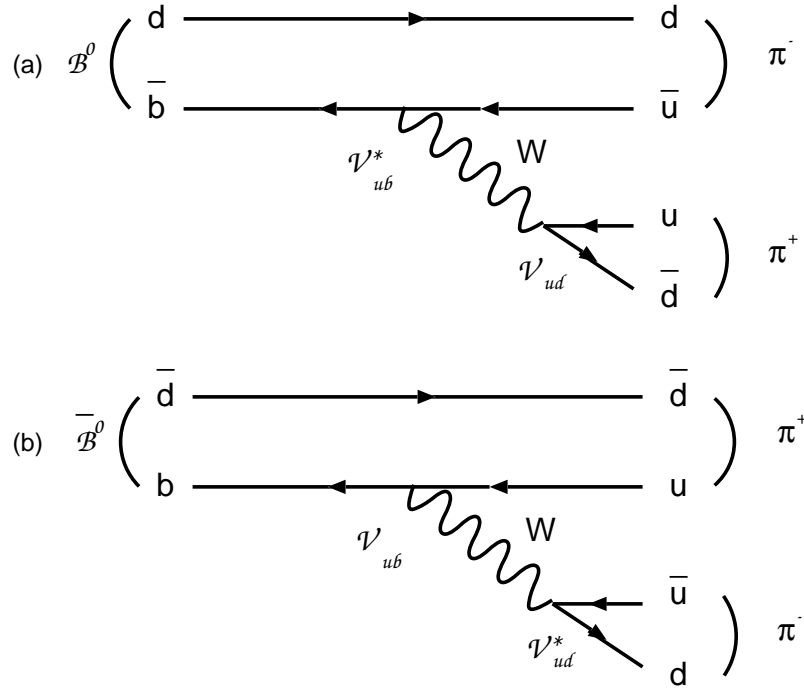


図 B.2: $B \rightarrow \pi^+\pi^-$

このとき、

$$\rho_f = \frac{A(B^0 \rightarrow f)}{A(\bar{B}^0 \rightarrow f)} = -\left(\frac{V_{ub}V_{ud}^*}{V_{ub}^*V_{ud}}\right) \quad (\text{B.10})$$

なので、

$$Im\left(\frac{q}{p}\rho_f\right) = Im\left(-\frac{V_{td}V_{tb}^*V_{ub}V_{ud}^*}{V_{td}^*V_{tb}V_{ub}^*V_{ud}}\right) = -\sin(2\phi_2) \quad (\text{B.11})$$

となる。すなわち、 $\pi^+\pi^-$ 崩壊モードで CP の破れを見れば、ユニタリテイトライアングルの一つの角の大きさ ϕ_2 が測定できる。

– ϕ_3 の測定方法

荷電 B 中間子が中性 D 中間子と荷電 K 中間子に崩壊する場合を考える。中性 D 中間子には D^0 と \bar{D}^0 およびこれらの重ねあわせで CP の固有状態 D_1 と D_2 があり、これらをどういう崩壊をするかを見ることで区別できる。まず、次の 4 つの崩壊振幅を考える。

$$B^+ \rightarrow D^0 K^+, A_D = |A_D| e^{i\delta} e^{i\phi} \quad (\text{B.12})$$

$$B^+ \rightarrow \bar{D}^0 K^+, A_D = |A_D| e^{i\bar{\delta}} e^{i\bar{\phi}} \quad (\text{B.13})$$

$$B^- \rightarrow \bar{D}^0 K^-, \bar{A}_D = |A_D| e^{i\delta} e^{-i\phi} \quad (\text{B.14})$$

$$B^- \rightarrow \bar{D}^0 K^+, \bar{A}_D = |A_D| e^{i\bar{\delta}} e^{-i\bar{\phi}} \quad (\text{B.15})$$

ここで、 $\delta, \bar{\delta}$ は強い相互作用によっておこる終状態の散乱による位相のずれを表す。 $\phi, \bar{\phi}$ は弱い相互作用による CP の破れに関係した位相である。

CP 非保存ならば、 B^+ のある終状態への崩壊確率と B^- のある終状態への崩壊確率との間に違いがでるはずである。そこで、 $B^\pm \rightarrow D_2 K^\pm$ について考える。ここで、 D_2 は、

$$|D_2\rangle = \frac{1}{\sqrt{2}} (|D^0\rangle + e^{i\theta} |\bar{D}^0\rangle) \quad (\text{B.16})$$

である。ただし、 $e^{i\theta} = V_{cs}^* V_{us} / V_{cs} V_{us}^*$ である。確率振幅はそれぞれ

$$B^+ \rightarrow D_2 K^-, A_{D_2} = \frac{1}{\sqrt{2}} (A_D + e^{-i\theta} A_D) \quad (\text{B.17})$$

$$B^- \rightarrow D_2 K^+, A_{D_2} = \frac{1}{\sqrt{2}} (\bar{A}_D + e^{-i\theta} \bar{A}_D) \quad (\text{B.18})$$

と書ける。この 2 つの崩壊確率の差は、

$$|A_{D_2}|^2 - |\bar{A}_{D_2}|^2 \propto \sin(\bar{\phi} - \phi - \theta) \sin(\delta - \bar{\delta}) \quad (\text{B.19})$$

となる。これより、強い相互作用による位相のずれ $\delta - \bar{\delta}$ がなければ、CP の破れは観測できないことが分かる。そして、 $\delta - \bar{\delta}$ の値を知る必要がある。この問題は、式 (D.2), (D.7), (D.8), (B.15) と式 (B.17), (B.18) の 6 つの過程の分岐比をすべて測り、それぞれの確率振幅の絶対値を知ることによって解決できる。式 (D.2), (D.7), (B.17) の関係式は B.3(a) の複素平面上で三角形をつくる。

この三角形は 3 辺の長さ (それぞれの確率振幅の絶対値) が与えられれば決定でき、図??(a) の角の大きさ $\bar{\phi} - \phi - \theta + \bar{\delta} - \delta$ が符号を除いて分かる。 B^- についても同様にして符号を除いて $\bar{\phi} - \phi - \theta + \bar{\delta} - \delta$ が決まる (図??(b)). 以上より、 $\bar{\phi} - \phi - \theta$ と $\bar{\delta} - \delta$ 4 重の符号の不定性を除いて決定できる。

$B^\pm \rightarrow D^0 / \bar{D}^0 K^\pm$ のファインマンダイアグラムを図 B.4 に示す。

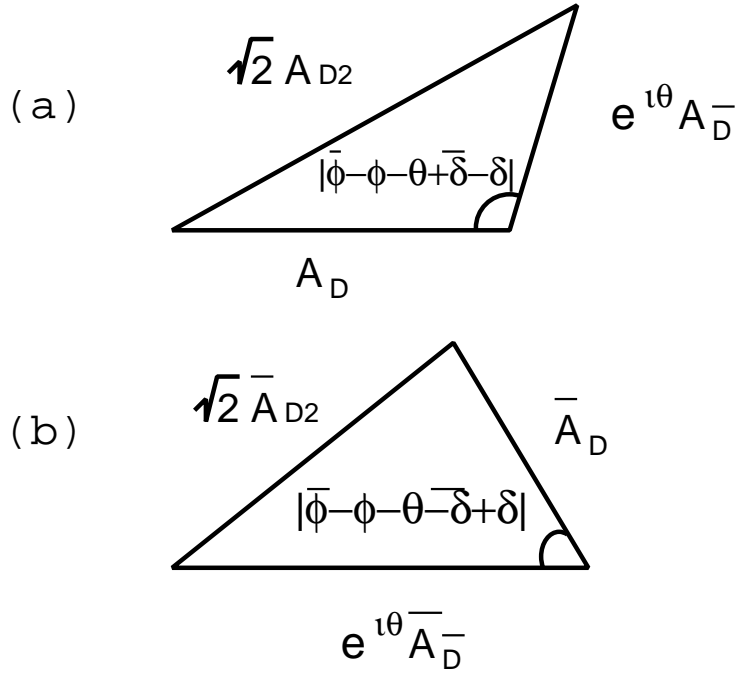


図 B.3: $B^\pm \rightarrow DK^\pm$ に関する確率振幅のなす三角形

よって,

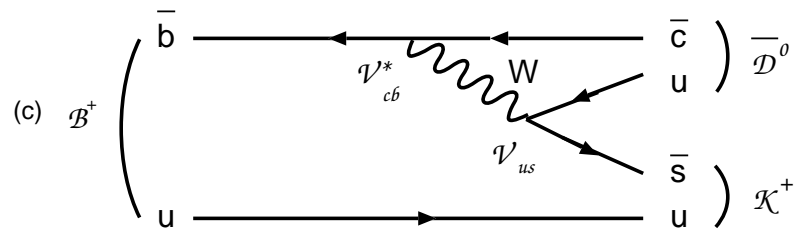
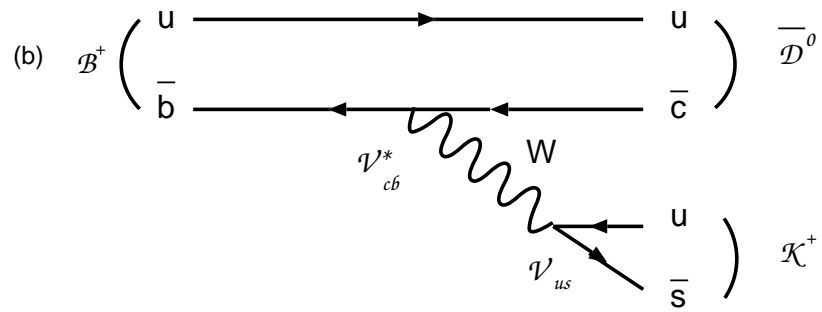
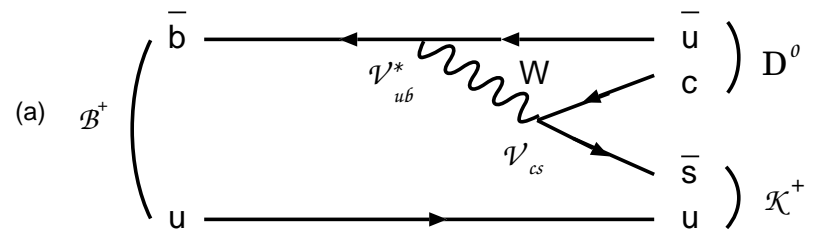
$$\phi = \arg(V_{ub}^* V_{cs}), \bar{\phi} = \arg(V_{cb}^* V_{us}) \quad (\text{B.20})$$

そして, $V_{us}^* V_{cs} \simeq -V_{ud}^* V_{cd}$ (式 (2.5) より) なので

$$\bar{\phi} - \phi - \theta \simeq \arg\left(-\frac{V_{cb}^* V_{cd}}{V_{ub}^* V_{ud}}\right) = -\phi_3 \quad (\text{B.21})$$

したがって, ユニタリティトライアングルの角 ϕ^3 が測定できる.

以上で述べたように ϕ_1, ϕ_2, ϕ_3 を測定することができる. そして, $\phi_1 + \phi_2 + \phi_3 = \pi$ ならば, CP 非保存であることが確認される.



☒ B.4: $B^\pm \rightarrow D^0/\bar{D}^0 K^\pm$

付録C Cabbibo suppressed

ハドロンの弱い相互作用は、構成クォークによる W^\pm ボゾンの吸収と放射によって解釈されている。これは、中性子崩壊のような semi-leptonic process を起こす。純粋な hadronic decay は semi-leptonic decay ほどよく理解されていない。それゆえ、ここでは semi-leptonic 相互作用について議論する。簡単のために、クォークを

$$\begin{pmatrix} u \\ d \end{pmatrix} \text{ and } \begin{pmatrix} c \\ s \end{pmatrix} \quad (\text{C.1})$$

に制限する。クォークの弱い相互作用は2つの考えで理解されている。それは、“lepton-quark symmetry” と “quark mixing” である。この2つの考えを取り入れて W^\pm ボゾン-クォーク相互作用を推測する。quark mixing を無視したとき、lepton quark symmetry から W^\pm クォークバーテックスは図 C.1 のようになる。ここで、結合定数は、

$$V_{ud} = V_{cs} = V_W \quad (\text{C.2})$$

である。

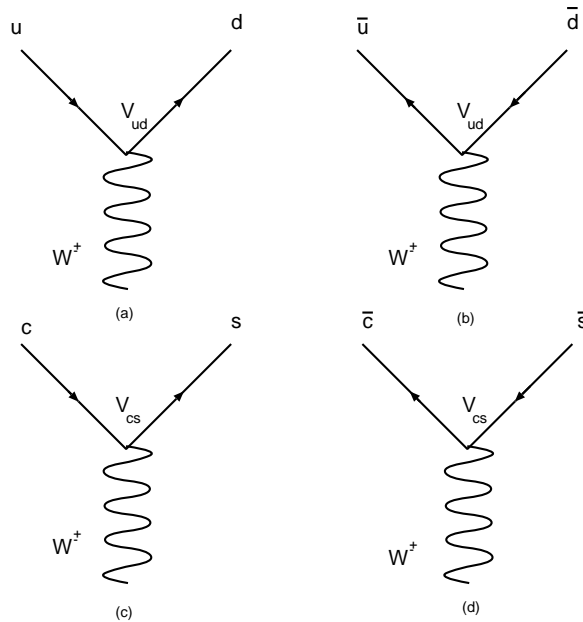


図 C.1: W^\pm クォーク バーテックス

この相互作用は、 π 崩壊など多くの反応に対して起こる。

$$\pi^- \rightarrow \mu^- + \bar{\nu}_\mu \quad (\text{C.3})$$

クォークレベルでは

$$d\bar{u} \rightarrow \mu^- + \bar{\nu}_\mu \quad (\text{C.4})$$

と書ける。しかし、このままでは実験的に観測されている他の多くの崩壊は禁止される。例えば

$$K^- \rightarrow \mu^- + \bar{\nu}_\mu \quad (\text{C.5})$$

という崩壊がある。クォークレベルでは

$$s\bar{u} \rightarrow \mu^- + \bar{\nu}_\mu \quad (\text{C.6})$$

と書ける。

$K^- \rightarrow \mu^- + \bar{\nu}_\mu$ が禁止される理由は、図 C.2 では usW バーテックスを含んでいるが、図 ?? では含まれていないからである。

そこで、quark mixing という考えを用いる。この考え方によると、 d クォークと s クォークは線形結合

$$d' = d \cos \theta_c + s \sin \theta_c \quad (\text{C.7})$$

$$s' = -d \cos \theta_c + s \sin \theta_c \quad (\text{C.8})$$

によって、弱い相互作用をする。ここで、 θ_c は Cabibbo angle である。

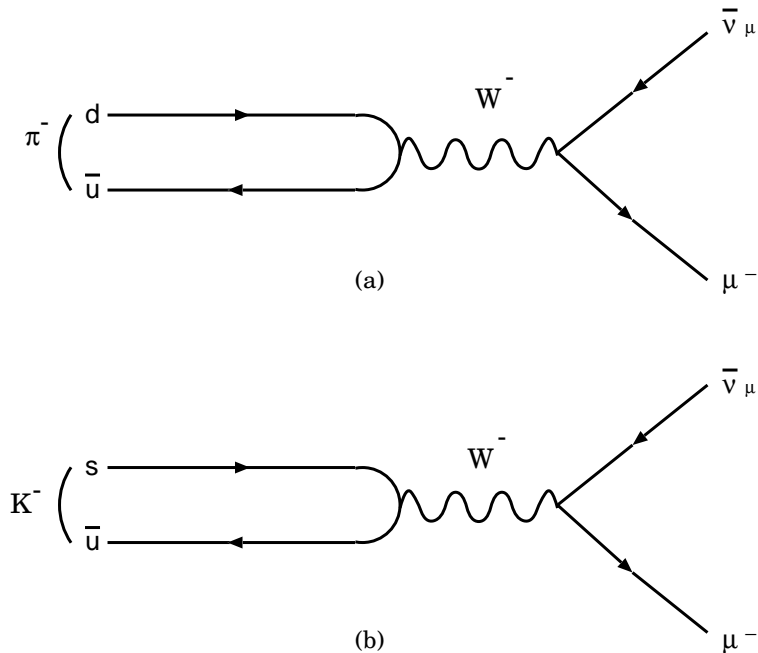


図 C.2: (a) $\pi^- \rightarrow \mu^- + \bar{\nu}_\mu$ (b) $K^- \rightarrow \mu^- + \bar{\nu}_\mu$

よって、許されていた”udW” バーテックスは、 $\cos \theta$ の係数で制限され、禁止されていた”usW” バーテックスは、 $\cos \theta$ の係数で許されるようになる。同じことが図??の他の3つのバーテックスにも言える。よって、

$$V_{ud} = V_{cs} = V_W \cos \theta_c \quad (\text{C.9})$$

$$V_{us} = -V_{cd} = V_W \sin \theta_c \quad (\text{C.10})$$

と書ける。それぞれの結合定数の比と cabbibo angle θ_c は、

$$\frac{\Gamma(K^- \rightarrow \mu^- \bar{\nu}_\mu)}{\Gamma(\pi^- \rightarrow \mu^- \bar{\nu}_\mu)} \propto \frac{V_{us}^2}{V_{ud}^2} = \tan^2 \theta_c \quad (\text{C.11})$$

から求められる。その結果

$$\frac{V_{us}}{V_{ud}} = \tan \theta_c = 0.277 \pm 0.004 \quad (\text{C.12})$$

$$\theta_c = (12.8 \pm 0.2)^\circ \quad (\text{C.13})$$

であることが分かっている。式 C.10 の結合定数をもつ崩壊を Cabbibo-suppressed と呼ぶ。

付録D Colour

ハドロンのクォーク理論は、大きな成功を収めていた。しかし、パウリ原理とは矛盾するものだった。パウリ原理とは、任意の状態の波動関数は任意の2つの固有スピン1/2をもつフェルミオンの交換の下で非対称でなければならないという原理である。この矛盾はグリーンバーグが、空間(space)、スピン(spin)の自由度に加えて色(colour)を導入することによって解決された。

色電荷と呼ばれる保存される量子数は色波動関数と結び付けられており、これは電磁相互作用において電荷が為す役割と同じ役割を強い相互作用において為す。ここでは、色電荷と色波動関数を導入し、色による制限について考える。これは、カラーシングレットと呼ばれるすべての色電荷はゼロをもつ状態でのみハドロンは存在できるという仮説である。一方、ゼロでない色電荷を持つクォークはハドロンの中に閉じ込められる。色電荷の値を表D.1に示す。

(a)Quarks			(b)Antiquarks		
	I_3^c	Y^c		I_3^c	Y^c
r	$\frac{1}{2}$	$\frac{1}{3}$	\bar{r}	$-\frac{1}{2}$	$-\frac{1}{3}$
g	$-\frac{1}{2}$	$\frac{1}{3}$	\bar{g}	$\frac{1}{2}$	$-\frac{1}{3}$
b	0	$-\frac{2}{3}$	\bar{b}	0	$\frac{2}{3}$

表 D.1: 色電荷の値

自由空間において単独に存在できるハドロンは

$$I_3^c = Y^c = 0 \quad (\text{D.1})$$

でなければならない。もし、バリオンがr(red),g(green),b(blue)のクォークから構成されているならば $I_3^c = Y^c = 0$ となり存在することができる。

次に、m個のクォークとn個のクォークからなる $q^m q^n$ について考える。ここではバリオン数 $B \geq 0$ で、 $m \geq n$ の場合のみ考える。なぜなら $B < 0$ の粒子はまさに $B > 0$ の粒子の反粒子そのものであるからである。その色波動関数は、

$$r^\alpha g^\beta b^\gamma \bar{r}^{\bar{\alpha}} \bar{g}^{\bar{\beta}} \bar{b}^{\bar{\gamma}} \quad (\text{D.2})$$

$$m = \alpha + \beta + \gamma > n = \bar{\alpha} + \bar{\beta} + \bar{\gamma} \quad (\text{D.3})$$

ここで、 r^α はr状態の α 個のクォークがあることを意味する。

表 D.1 より、この色電荷は

$$I_3^c = \frac{\alpha - \bar{\alpha}}{2} - \frac{\beta - \bar{\beta}}{2} = 0 \quad (\text{D.4})$$

$$Y^c = \frac{\alpha - \bar{\alpha}}{3} - \frac{\beta - \bar{\beta}}{3} - \frac{2(\gamma - \bar{\gamma})}{3} = 0 \quad (\text{D.5})$$

これは、

$$\alpha - \bar{\alpha} = \beta - \bar{\beta} = \gamma - \bar{\gamma} \equiv p \quad (\text{D.6})$$

を意味する。ここで、 p は正の整数である。さらに、計算すると

$$m - n = 3p \quad (\text{D.7})$$

が導ける。

式 D.7 を式 D.2 に代入すると

$$(3q)^p (q\bar{q})^n (p, n \geq 0) \quad (\text{D.8})$$

となる。ここで、分数的電荷を持つ

$$qq, qq\bar{q}, qqqq, \dots$$

などは色制限により禁止される。一方、最も単純な $q\bar{q}$ と $3q$ については許される。式 D.8 より、

$$qq\bar{q}\bar{q}, qqqq\bar{q}$$

なども存在する可能性があることが分かる。しかし、そのような粒子はまだ見つからない。

関連図書

- [1] 岩田正義 “B ファクトリーの建設がはじまる” 日本物理学誌 1994
- [2] 黒川真一 “B ファクトリー加速器” 日本物理学誌 1994
- [3] 渡辺靖志 “CP とは” 日本物理学誌 1994
- [4] 田中実 “ボトムクォークの物理” 日本物理学誌 1994
- [5] 鈴木史朗 “B ファクトリー実験のための測定器” 日本物理学誌 1994
- [6] Gustavo Burdman, Eugene Golowich, JoAnne L. Hewett and Sandip Pakvasa “Radiative Weak Decays of Charm Mesons” *Phys.Rev.D52:6383-6399* 1995
- [7] CLEO Collaboration “Radiative Weak Decays of Charm Mesons” *Phys.Rev.D58:092001* 1998
- [8] B. Bajc, S. Fajfer and Robert J. Oakes “Vector and pseudoscalar charm meson radiative decays” *Phys.Rev.D51:2230-2236* 1995
- [9] A. Abashian et. al. (The Belle Collaboration) [edited by S. Mori] “The Belle Detector” *KEK Progress Report 2000-4*
- [10] CLEO collaboration “Evidence for Penguin-Diagram Decays: First Observation of $B \rightarrow K^*(892)\gamma$ ” *Phys.Rev.Lett.71.674(1993)*
- [11] M. Wirbel, B. Stech, and M. Bauer “Exclusive Semileptonic Decays of Heavy Mesons” *Z.Phys.C - Particles and Fields 29.637-642(1985)*
- [12] M. Bauer and M. Wirbel “Formfactor effects in exclusive D and B decays” *Z.Phys.C - Particles and Fields 42.671-678(1989)*
- [13] R.S. Lu, C.H. Wang, W.S. Hou, H.C. Huang, M.Z. Wang “A study of $B \rightarrow D^{(*)}\bar{D}^{(*)}$ at BELLE” *BELLE Note 227 NTU-HEP 98-5*
- [14] Yoshihito Iwasaki “A measurement of $B \rightarrow D^{(*)\pm}\bar{D}^{(\mp)}$ Branching Fraction” *BELLE Note 474 30-Apr-2002*
- [15] Hideki Miyake and Masashi Hazumi “Study of doubly-charged B decays $B \rightarrow D^{(*)}D^{(*)}$ ” *BELLE Note 440 July 12, 2001*

- [16] T.Matsumoto, S.Suzuki “Observation of the Cabbibo suppressed $B \rightarrow D^{(*)}K^{(*)}$ decays at Belle” *BELLE Note 401* 7th,February,2001
- [17] Yoshinari Mikami “ A serch for $b \rightarrow uDs$ decay at Belle experiment” 東北大学大学院理学研究科 February,2002
- [18] 遊佐 洋右 “ A serch for neutrinoless tau decays $\tau \rightarrow e/\mu K^0$ at Belle experiment” 東北大学大学院理学研究科 平成 13 年
- [19] 半田 史朗 “ BELLE 実験における $B^0 \rightarrow J/\Psi + K^{*0}$ 崩壊の研究” 東北大学大学院理学研究科 平成 12 年
- [20] 樋口 格 “ BELLE 実験における $B \rightarrow K^* + \pi$ 崩壊の研究” 東北大学大学院理学研究科 平成 12 年
- [21] B.R.Martin and G.SHAW “ Particle Physics”
- [22] “The European Physical Journal C Review of Particle Physics ” *Volume 15,Number1-4,2000*

謝辞

本論文の執筆にあたりましては研究室の方々を始め，B-factory 実験関係者の方々に御指導，御鞭撻，御協力をいただきました。この場をお借りいたしましてお礼を申し上げます。

山本先生には研究の内容や方針に関して様々なアドバイスをいただきました。長嶺先生には，コンピュータがトラブルのために解析が遅れてしまったとき，いろいろと対応していただき，とても感謝しております。また，先輩の三上さんにはプログラムや解析方法などの様々な面でのアドバイスをいただき，とても感謝しております。

BELLE 実験の皆様方にはたいへんお世話になりました。心より感謝いたします。本当にありがとうございました。

2003年2月16日

藤澤 由和